

(19) 日本国特許庁(JP)

## (12) 特許公報(B2)

(11) 特許番号

特許第4781089号  
(P4781089)

(45) 発行日 平成23年9月28日(2011.9.28)

(24) 登録日 平成23年7月15日(2011.7.15)

(51) Int.Cl.

G06F 9/50 (2006.01)  
G06F 9/48 (2006.01)

F 1

G06F 9/46 465Z  
G06F 9/46 452F

請求項の数 12 (全 31 頁)

(21) 出願番号 特願2005-330887 (P2005-330887)  
 (22) 出願日 平成17年11月15日 (2005.11.15)  
 (65) 公開番号 特開2007-140710 (P2007-140710A)  
 (43) 公開日 平成19年6月7日 (2007.6.7)  
 審査請求日 平成20年11月13日 (2008.11.13)

(73) 特許権者 310021766  
 株式会社ソニー・コンピュータエンタテイメント  
 東京都港区港南1丁目7番1号  
 (74) 代理人 100105924  
 弁理士 森下 賢樹  
 (74) 代理人 100109047  
 弁理士 村田 雄祐  
 (74) 代理人 100109081  
 弁理士 三木 友由  
 (74) 代理人 100134256  
 弁理士 青木 武司

最終頁に続く

(54) 【発明の名称】タスク割り当て方法およびタスク割り当て装置

## (57) 【特許請求の範囲】

## 【請求項 1】

それがプロセッサを備え相互に通信可能に接続された複数のノードを含む分散処理システムにおいて、アプリケーションに含まれる先後関係を有する複数のタスクを複数のノード間での計算結果の整合性が維持されるように各ノードに割り当てるタスク割り当て方法であって、

タスク割り当ての処理を実行するノードのプロセッサが、

前記アプリケーションを解析して、または予め定められた、タスク間の先後関係、各タスクに科せられる時間制約、タスク処理時間、タスク間転送データ量、ノード間通信スループットを取得し、

タスク毎に、当該タスクと先後関係にある全ての先行タスクについて、先行タスクの処理開始時刻と、先行タスクの処理時間と、当該タスクと先行タスクの間のタスク間転送データ量をノード間通信スループットで除して求めた通信時間とを加えた時刻を算出し、算出された時刻のうち最も遅い時刻を、当該タスクを最も早く処理開始可能な時刻である最先開始時刻と決定し、

タスク毎に、当該タスクと先後関係にある全ての後続タスクについて、後続タスクの処理開始時刻から、当該タスクの処理時間と当該タスクと後続タスクの間のタスク間転送データ量をノード間通信スループットで除して求めた通信時間とを減じた時刻を算出し、算出された時刻のうち最も早い時刻を、当該タスクの処理を終了するための最も遅い開始時刻である最遅開始時刻と決定し、

10

20

前記最遅開始時刻から前記最先開始時刻を減じたタスク可動範囲を算出し、少なくとも一部のタスクについて、タスクが割り当てられるべきノードの事前指定を受け付け、

前記少なくとも一部のタスクを事前指定されたノードに優先して割り当てた後、残りのタスクについて、前記タスク可動範囲が小さいタスクから順に割り当て対象タスクと決定し、該割り当て対象タスクの処理時間分の空き時間を有するノードを割当先ノードとして選択し、該割当先ノードに前記割り当て対象タスクを割り当てる特徴とするタスク割り当て方法。

#### 【請求項 2】

前記タスク割り当ての処理を実行するノードのプロセッサが、

10

前記事前指定がなされていないタスクを、前記複数のノードに実際に割り当てる前に一時的に配置するための仮想ノードに割り当てる、

前記仮想ノードに割り当てられたタスクと他のノードに割り当てられたタスクとの間で、前記仮想ノードと他のノードとの間の通信スループットとして予め定められている仮想スループットでタスク間転送データ量を除して求めた仮想データ通信時間を算出し、該仮想データ通信時間を前記通信時間の代わりに使用して前記最先開始時刻および最遅開始時刻を算出することを特徴とする請求項1に記載のタスク割り当て方法。

#### 【請求項 3】

前記タスク割り当ての処理を実行するノードのプロセッサが、

20

前記タスク可動範囲が最小となるタスクが複数ある場合、当該タスクと後続タスクとの間でのタスク間転送データ量を、当該タスクと後続タスクが割り当てられたノード間のノード間通信スループットで除して求めた通信時間が最長となるタスクを選択し、

選択したタスクと後続タスクとを一体的に取り扱うようグループ化し、

グループ単位で前記タスク可動範囲を算出し、

前記タスク可動範囲が小さいグループからグループ単位で割当先ノードを選択し、該割当先ノードに前記割り当て対象タスクを割り当てる特徴とする請求項1または2に記載のタスク割り当て方法。

#### 【請求項 4】

それがプロセッサを備え相互に通信可能に接続された複数のノードを含む分散処理システムにおいて、アプリケーションに含まれる先後関係を有する複数のタスクを複数のノード間での計算結果の整合性が維持されるように各ノードに割り当てるタスク割り当て装置であって、

30

タスク間の先後関係、各タスクに科せられる時間制約、タスク処理時間、タスク間転送データ量、ノード間通信スループットを取得する情報取得部と、

タスク毎に、当該タスクと先後関係にある全ての先行タスクについて、先行タスクの処理開始時刻と、先行タスクの処理時間と、当該タスクと先行タスクの間のタスク間転送データ量をノード間通信スループットで除して求めた通信時間とを加えた時刻を算出し、算出された時刻のうち最も遅い時刻を、当該タスクを最も早く処理開始可能な時刻である最先開始時刻と決定し、かつ、タスク毎に、当該タスクと先後関係にある全ての後続タスクについて、後続タスクの処理開始時刻から、当該タスクの処理時間と、当該タスクと後続タスクの間のタスク間転送データ量をノード間通信スループットで除して求めた通信時間とを減じた時刻を算出し、算出された時刻のうち最も早い時刻を、当該タスクの処理を終了するための最も遅い開始時刻である最遅開始時刻と決定する、開始時刻算出部と、

40

少なくとも一部のタスクについて、タスクが割り当てられるべき割当先ノードの指定を受け付ける事前指定受付部と、

前記少なくとも一部のタスクを指定された割当先ノードに優先して割り当てた後、残りのタスクについて前記最遅開始時刻から前記最先開始時刻を減じたタスク可動範囲を算出し、該タスク可動範囲が小さいタスクから順に割り当て対象タスクと決定し、該割り当て対象タスクの処理時間分の空き時間を有するノードを割当先ノードとして選択するノード選択部と、

50

選択された割当先ノードに前記割り当て対象タスクを配置するタスク配置部と、  
を備えることを特徴とするタスク割り当て装置。

#### 【請求項 5】

割当先ノードの事前指定がなされていないタスクを、前記複数のノードに実際に割り当てる前に一時的に配置するための仮想ノードに割り当て、前記仮想ノードに割り当てられたタスクと他のノードに割り当てられたタスクとの間で、前記仮想ノードと他のノードとの間の通信スループットとして予め定められている仮想スループットでタスク間転送データ量を除して仮想データ通信時間を算出するタスク間通信時間取得部をさらに備え、

前記開始時刻算出部は、前記仮想データ通信時間を前記通信時間の代わりに使用して前記最先開始時刻および前記最遅開始時刻を算出することを特徴とする請求項4に記載のタスク割り当て装置。 10

#### 【請求項 6】

前記ノード選択部は、複数の割り当て対象タスクについて前記タスク可動範囲が同一の場合、割り当て対象タスクとその後続タスクとの間の前記仮想データ通信時間が大きな割り当て対象タスクについて、割当先ノードを優先的に選択することを特徴とする請求項5に記載のタスク割り当て装置。

#### 【請求項 7】

前記ノード選択部は、優先的に割当先ノードが決定された割り当て対象タスクとその後続タスクとを同一ノードに割り当てるることを特徴とする請求項6に記載のタスク割り当て装置。 20

#### 【請求項 8】

前記ノード選択部は、複数の割り当て対象タスクについて後続タスクとの間の前記仮想データ通信時間が同一である場合、全ての割り当て対象タスクのうち最先開始時刻が最小であるタスクについて、割当先ノードを優先的に選択することを特徴とする請求項6に記載のタスク割り当て装置。

#### 【請求項 9】

前記ノード選択部は、ひとつ以上のタスクが既に割り当てられているノードに対してさらに割り当て対象タスクを割り当てるとき、前記ノードに前記割り当て対象タスクの処理時間分の空き時間があるか否かを判定し、空き時間がないとき、前記ノードに割り当て済みのタスクの最遅開始時刻を移動させることで前記空き時間を作れるか否かを判定する空き時間検出部をさらに含むことを特徴とする請求項4ないし8のいずれかに記載のタスク割り当て装置。 30

#### 【請求項 10】

前記ノード選択部は、前記タスク可動範囲が最小となる割り当て対象タスクが複数ある場合、割り当て対象タスクと後続タスクとの間でのタスク間転送データ量を、割り当て対象タスクと後続タスクが割り当てられたノード間のノード間通信スループットで除して求めた通信時間が最長となるタスクをグループ化するグループ化部をさらに備え、

前記開始時刻算出部は前記グループを単位として前記最先開始時刻と最遅開始時刻とを算出し、

前記ノード選択部は、前記グループを単位として割当先ノードを選択し、選択した割当先ノードにグループ内の全てのタスクを割り当てるることを特徴とする請求項4ないし9のいずれかに記載のタスク割り当て装置。 40

#### 【請求項 11】

前記事前指定受付部は、複数のタスクをグループ化する指定を受け付け、  
前記グループ化部は、指定通りにタスクのグループ化を実行することを特徴とする請求項10に記載のタスク割り当て装置。

#### 【請求項 12】

それぞれがプロセッサを備え相互に通信可能に接続された複数のノードを含む分散処理システムにおいて、アプリケーションに含まれる先後関係を有する複数のタスクを複数のノード間での計算結果の整合性が維持されるように各ノードに割り当てるタスク割り当て 50

プログラムであって、

前記アプリケーションを解析して、または予め定められた、タスク間の先後関係、各タスクに科せられる時間制約、タスク処理時間、タスク間転送データ量、ノード間通信スループットを取得する機能と、

タスク毎に、当該タスクと先後関係にある全ての先行タスクについて、先行タスクの処理開始時刻と、先行タスクの処理時間と、当該タスクと先行タスクの間のタスク間転送データ量をノード間通信スループットで除して求めた通信時間とを加えた時刻を算出し、算出された時刻のうち最も遅い時刻を、当該タスクを最も早く処理開始可能な時刻である最先開始時刻と決定する機能と、

タスク毎に、当該タスクと先後関係にある全ての後続タスクについて、後続タスクの処理開始時刻から、当該タスクの処理時間と、当該タスクと後続タスクの間のタスク間転送データ量をノード間通信スループットで除して求めた通信時間とを減じた時刻を算出し、算出された時刻のうち最も早い時刻を、当該タスクの処理を終了するための最も遅い開始時刻である最遅開始時刻と決定する機能と、

前記最遅開始時刻から前記最先開始時刻を減じたタスク可動範囲を算出する機能と、少なくとも一部のタスクについて、タスクが割り当てられるべきノードの事前指定を受け付ける機能と、

前記少なくとも一部のタスクを事前指定されたノードに優先して割り当てた後、残りのタスクについて、前記タスク可動範囲が小さいタスクから順に割り当て対象タスクと決定し、該割り当て対象タスクの処理時間分の空き時間を有するノードを割当先ノードとして選択し、該割当先ノードに前記割り当て対象タスクを割り当てる機能と、

をタスク割り当ての処理を実行するノードのプロセッサに実現させるためのタスク割り当てプログラム。

#### 【発明の詳細な説明】

##### 【技術分野】

##### 【0001】

この発明は、プロセッサを有する複数のノードからなる分散処理システムにおいて、各ノードへタスクを割り当てる技術に関する。

##### 【背景技術】

##### 【0002】

プロセッサを有する複数のノードからなる分散処理システムにおいてアプリケーションを実行するためには、アプリケーションのタスクをいずれのノードで実行すべきか決定する必要がある。この場合、あるイベントの結果が全てのノードに影響を及ぼすような重要な計算について、いかにして整合性を維持するかが問題となる。従来から、イベントをノード間で相互に通信して各ノードで整合性を維持する方式や、代表ノードが専用サーバの役割を果たし、代表ノードでのみ重要なタスクを実行することで整合性を維持する方式が知られている。

##### 【発明の開示】

##### 【発明が解決しようとする課題】

##### 【0003】

しかしながら、上記第1の方式では、各ノードでの演算結果が相違し整合性がとれなくなる場合がある。また、第2の方式では、専用サーバの役割を果たす代表ノードに他のノードを接続する形態をとることになる。したがって、アプリケーションの実行中に代表ノードを他のノードに変更したり、新たなノードを追加したりすることは困難である。

##### 【0004】

本発明はこうした課題に鑑みてなされたものであり、その目的は、プロセッサを有する複数のノードからなる分散処理システムにおいて、アプリケーションのタスクをいずれのノードに割り当てるべきかを判定する技術を提供することにある。

##### 【課題を解決するための手段】

##### 【0005】

10

20

30

40

50

本発明のある態様は、それぞれがプロセッサを備え相互に通信可能に接続された複数のノードを含む分散処理システムにおいて、先後関係を有する複数のタスクを各ノードに割り当てるタスク割り当て方法である。この方法では、ひとつまたは複数のプロセッサが、各タスクについて、当該タスクを最も早く処理開始可能な時刻である最先開始時刻と、時間制約内にタスクを終了するための最も遅い開始時刻である最遅開始時刻とを算出し、最先開始時刻と最遅開始時刻との差分であるタスク可動範囲を算出し、タスク可動範囲が小さいタスクから順に割当先ノードを決定する処理を実行する。

#### 【0006】

ここで、「タスク」とは、ある目的を達成するためにプログラムされたアプリケーションまたはそれに含まれる情報処理の内容をいい、アプリケーションと対応してもよいし、入出力制御やユーザが指定したコマンドなどアプリケーションよりも小さい単位と対応してもよく、何らかの処理または機能の単位に対応すればよい。

この態様によれば、タスク可動範囲に基づいて各タスクの割当先ノードが決定されるので、事前に代表ノードを定めることなく、アプリケーションタスクを処理時間の観点から最適なノードに割り当てることができる。

#### 【0007】

なお、本発明の構成要素や表現を方法、システム、コンピュータプログラム、コンピュータプログラムを格納した記録媒体などの間で相互に置換したものもまた、本発明の態様として有効である。

#### 【発明の効果】

#### 【0008】

本発明によれば、分散処理システムにおいて各ノードへのタスクの割り当てが自動的に決定されるので、代表ノードを予め定めておく必要がない。

#### 【発明を実施するための最良の形態】

#### 【0009】

本発明は、複数のノードで構成される分散処理システムにおいて、アプリケーションを実行する際に、タスクの持つ時間制約を充足できるようにタスクを各ノードに割り当てる技術に関する。

#### 【0010】

以下、本発明の一実施の形態に係るシステム構成と、当該システムで実行されるタスクの概略を説明した後、各機能ブロックの動作をフローチャートを参照して詳細に説明する。

#### 【0011】

図1は、本発明の実施の形態に係る分散アプリケーション実行システムの構成図である。各ノード10は、汎用のコンピュータからなり、それぞれひとつ以上のCPUを備える。各CPUは、同一の命令セットを使用可能であるとする。各ノード10は、インターネットを始めとするネットワーク30を介して相互にデータ送受信可能に構成されている。図1では、ノード1～5の5台のコンピュータがネットワーク30に接続されているが、分散処理システムを構成するノードの数に制限はない。

図1の環境において、分散アプリケーションが実行される。ここで、「分散アプリケーション」とは、ネットワークで接続された複数のCPU搭載機器を同時に使用し、分担して処理を進める形のアプリケーションをいう。

#### 【0012】

図2は、各ノードを構成する汎用コンピュータ100の概略構成を示す。コンピュータ100は、CPU12、メインメモリ14、記憶装置16、入出力インタフェース20および表示制御装置28を備える。CPU12は、コンピュータ100の全体を制御するとともに、ノードへのタスク割り当てプログラムを実行する。メインメモリ14は、各種のデータや描画処理プログラムなどを記憶する。これらはバス18を介して接続され、相互にデータの送受信が可能となっている。表示制御装置28には、アプリケーション実行の結果生成される画像を出力するディスプレイ26が接続される。入出力インタフェース2

10

20

30

40

50

0には、CD-ROM、DVD-ROMまたはハードウェアディスクドライブなどの外部記憶装置22と、コンピュータ100に対してデータを入力するためのキーボードやマウス等の入力装置24が接続される。出入力インターフェース20は、外部記憶装置22および入力装置24に対するデータの入出力を制御する。出入力インターフェース20は、外部記憶装置22に格納されたデータやプログラムを読み込み、メインメモリ14に提供する。出入力インターフェース20には、他のノードを構成するコンピュータと通信して、データおよびプログラムを取得する通信装置60も接続される。

#### 【0013】

以下の実施形態では、分散アプリケーションとしてネットワーク対戦型の格闘ゲームを想定して説明するが、本実施の形態を適用可能なアプリケーションはこれに限られるわけではなく、複数のノードでタスク処理が必要となる任意の分散アプリケーションに適用することができる。10

#### 【0014】

図3は、上記ゲームアプリケーションにおいて、各プレイヤーに対しての処理を担当するノードで実行されるべきタスク、およびタスク間の実行順序の制約の概略を示す。図中のブロックはそれぞれタスクを表し、矢印はタスク間の実行順序の制約を表す。実線の長方形ブロックは、各プレイヤーの担当ノードでのみ実行されるべきタスクを表す。例えば、BGM演奏31、キー入力32、背景表示36、キャラクタ表示39、効果音発生40といったタスクは、各ノードでそれぞれのプレイヤーに対して実行されなければ、ゲームアプリケーションとしての意味をなさない。長方形に縦線入りのブロックは、ネットワーク接続される任意のノードで実行可能なタスクを表す。キャラクタ移動・座標計算33およびダメージ計算37は、その計算結果を用いた表示が各プレイヤーのノードで出力される限り、実行されるノードを選ばない。20

#### 【0015】

二重囲いのブロックは、全てのプレイヤーについての計算を一ヵ所のノードで実行すべきタスクを表す。実行されるノードは任意である。衝突判定34は、ゲーム環境内のキャラクタ間の接触の結果を計算するタスクであるが、このような計算は、複数のノードで実行すると整合がとれなくなる場合があるので、全プレイヤーの座標計算の終了後に一ヵ所のノードで集中して演算すべきである。さらに、点線の長方形ブロックは、ひとつのノードで計算されてもよいし、分散されて複数のノードで計算されてもよいタスクを表す。ゲーム環境内のキャラクタの移動とは無関係に変化する背景を計算する背景変化計算35は、その計算結果が各ノードに提供されれば、ひとつのノードで実行してもよい。30

#### 【0016】

図4は、本実施の形態によるタスク割り当て結果の一例を示す。図4中のノード1～5は、図1のノード1～5と対応している。このうち、ノード1はプレイヤー1の処理を担当するノードであり、ノード5はプレイヤー2の処理を担当するノードであり、ノード2～4はプレイヤーの付いていないノードとする。図4では、実線長方形のブロックおよび長方形に縦線入りのブロックのうち、斜線なしのブロックはプレイヤー1に関するタスク、斜線を付したブロックはプレイヤー2に関するタスクを表す。

#### 【0017】

図4に示すように、キー入力32、BGM演奏31、背景表示36といったタスクは、各プレイヤーに対して割り当てられたノード1、ノード5上に割り当てられる。図4では、プレイヤー1に関するキャラクタ移動・座標計算33は、ノード1ではなくノード2に割り当てられ、プレイヤー2に関するキャラクタ移動・座標計算33は、ノード5ではなくノード4に割り当てられている。また、一ヵ所のノードで実行すべき衝突判定34は、ノード2およびノード4のキャラクタ移動・座標計算33からそれぞれデータを受け取ってノード3上で実行され、その計算結果がノード1、2、5に割り当てられたタスクに伝達されている。この結果、全てのノード上で計算結果の整合性を保ちつつ、ノード1およびノード5において、音声再生や画面表示が実現される。なお、このタスク割り当ては一例であり、他の割り当て結果も当然存在する。4050

**【0018】**

このように、一口にタスクといつても、特定のノードで処理すべきなのか、または任意のノードで処理してもよいのかなど、条件は様々である。また、タスク毎の処理時間も異なるし、演算結果をタスク間で転送するのに要する時間も異なる。さらに、ゲームアプリケーションは画面の描画を伴うので、1フレーム（例えば、1 / 60秒）以内にプレイヤー一人分の処理、すなわちキー入力から画面表示までの一連の処理を終了しなければならない。

したがって、分散アプリケーション実行環境において、アプリケーション内のタスクをいずれのノードに割り当てるかは、全てのノードにおける演算結果の整合性や、リアルタイム性を確保するための処理時間などに大きな影響を及ぼしうる。10

以下では、図1に示すような分散アプリケーション実行システムにおいて、アプリケーションのタスクを自動的にかつ適切に分配するタスク割り当て方法について説明する。

**【0019】**

図5は、実施の形態に係るタスク割り当て処理を実行するノード10の機能ブロック図である。各ブロックは、分散アプリケーション実行環境においてタスク割り当てを実現するために必要な処理を実行する。なお、ノード10は、ハードウェア的には、CPU、RAM、ROMなどの構成で実現でき、ソフトウェア的にはデータ入力機能、データ保持機能、演算機能、通信機能などの諸機能を発揮するプログラムで実現されるが、図5ではそれらの連携によって実現される機能ブロックを描いている。したがって、これらの機能ブロックはハードウェア、ソフトウェアの組み合わせによって様々な形で実現できる。20

**【0020】**

ユーザ入力部102は、キーボードやマウス等の入力装置を介してユーザからのデータ入力を受け取る。

情報収集部108は、タスク割り当てを決定するために必要となる各種情報を収集する。情報収集部108は、タスクに関する情報を取得するタスク情報取得部110と、ノードに関する情報を取得するノード情報取得部112と、後述する事前指定を受け付ける事前指定受付部118とを含む。

**【0021】**

タスク情報取得部110が取得するタスク情報には、タスク間の先後関係、リアルタイム性を確保するために各タスクに科せられる時間制約、最悪ケースでの各タスクの処理に要する時間であるタスク処理時間、タスク間の転送データ量が含まれる。ここで、時間制約は、例えば、あるアプリケーションを所定の間隔で周期的に繰り返し実行すべきときは、その間隔が時間制約となり得るし、または、あるアプリケーションの実行を開始してから終了するまでの制限時間も制約条件のひとつである。この時間制約は、以下の説明では「デッドライン時刻」として表現されている。30

**【0022】**

ノード情報取得部112が取得するノード情報には、ノードリスト、ノード間通信レイテンシ、ノード間通信スループット、ノードリソース情報が含まれる。このうち、ノードリソース情報は、タスクを割り当てるべき各ノードにおける計算負荷の状態や、各ノードのCPU処理能力、メモリ容量といった計算リソースに関する情報である。これらの情報は、図示しない負荷監視部が、ネットワークに接続されている各ノードから現時点での負荷量の通知を受けるようにするか、または、オペレーティングシステムにこれらの情報を伝達する仕組みを設けることで取得する。40

なお、タスク間の転送データ量と、ノード間のレイテンシ、スループット情報から、タスク間の通信時間を計算することができる。

**【0023】**

また、事前指定受付部118が受け付ける情報には、タスク割り当てノード事前指定、タスクグループ事前指定が含まれる。

**【0024】**

各タスクの時間制約、タスク処理時間、タスク間転送データ量、ノードリスト、ノード

50

間通信レイテンシ、ノード間通信スループットは、実行されるアプリケーションのプログラマが予め入力しておいたものを使用するか、または、プログラム解析部 104 が、プログラム解析ツールを用いてアプリケーションプログラムを解析して推定した結果を使用してもよい。ノード間通信レイテンシとノード間通信スループットは、ネットワーク構成から推定される推定値を使用してもよい。

#### 【0025】

格納部 130 は、情報収集部 108 で取得されたタスク割り当て処理に必要となる各種データを格納する。タスク情報格納部 120 は、タスク先後関係、タスク時間制約、タスク処理時間、タスク間転送データ量、タスク割り当てノード事前指定情報、タスクグループ事前指定情報を格納する。ノード情報格納部 126 は、ノードリスト、ノード間通信レイテンシ、ノード間通信スループット、ノードリソース情報を格納する。10

#### 【0026】

タスク割り当て部 140 は、格納部 130 に存在する各種情報のうち少なくともひとつの情報を参照して、ネットワーク内のノードにアプリケーションタスクを割り当てるタスク割り当て処理を実行する。タスク割り当て部 140 は、開始時刻算出部 144、対象タスク選択部 146、ノード選択部 148 を含む。

#### 【0027】

開始時刻算出部 144 は、各タスクまたはタスクグループについて、それぞれ最先開始時刻 (A E S T : Absolute Earliest Start Time)、および最遅開始時刻 (A L S T : A bsolute Latest Start Time) を計算する。A E S T の算出については図 7 および図 8 を参考して説明し、A L S T の算出については図 9 および図 10 を参考して説明する。20

対象タスク選択部 146 は、タスク割り当ての対象となるタスクを選択する。この選択には、上述の A E S T および A L S T が利用される。この対象タスク選択処理については、図 11 のフローチャートを参照して説明する。

ノード選択部 148 は、タスク割り当ての対象となるタスク（以下、「割り当て対象タスク」という）を、ネットワーク内のいずれのノードに割り当てるかのノード選択処理を実行する。この処理については、図 13 ~ 図 17 のフローチャートを参照して説明する。

#### 【0028】

タスク配置部 150 は、タスク割り当て部 140 における処理結果にしたがってタスクを各ノードに配置し、タスクを実際に動作させるのに必要な情報、すなわち、タスクのプログラムコード、初期データ、先後関係のあるタスクの割り当てられたノードなどの情報を伝達する。プログラムコードそのものの代わりに、各ノードの記憶装置に予め複数のコードを記録しておき、必要なコードの管理番号などを伝達してもよい。30

#### 【0029】

配置されたタスクは、各ノードで分散処理される。このとき、各ノードがそれぞれ勝手にタスクの実行を開始しても統制がとれなくなる可能性がある。そのため、分散アプリケーションの全タスクの全てが実行可能になるのを待機し、全ノードで一斉にタスクの実行を開始するなどの処理を実現するために、タスク配置部 150 は、実行の開始、中断、停止などの命令を各ノードに発行してもよい。

#### 【0030】

タスク配置部 150 は、ネットワーク内の各ノードの状況の変化、例えば、新たなノードが追加されたり、またはノードがネットワークから切断されたりして、各タスクの実行が困難になった場合に、タスク割り当て部 140 にタスクの再配置をするように指示してもよい。40

#### 【0031】

続いて、本実施の形態におけるタスク割り当て処理の概要を説明する。

各タスクについて、タスクの最先開始時刻 A E S T と、デッドライン時刻を守るために最遅開始時刻 A L S T を求め、その差が最小であるタスク、すなわち最も時間的に余裕の少ないタスクを選択し、このタスクの割当先のノードを決定する。A E S T や A L S T は、タスク処理時間やタスク間の通信時間などを考慮して算出される。ひとつのタスクの割50

当先ノードが決定すると、その結果にしたがって全タスクについて A E S T と A L S T を再計算し、その計算結果にしたがって次の割り当て対象タスクを決定する。このようにして、重要なタスクから割当先のノードが決定されていく。

#### 【 0 0 3 2 】

図 6 は、ノード 1 0 で実施されるタスク割り当て処理のメインフロー チャートである。

まず、アプリケーションのプログラマは、ノードおよびタスクに関する所定の情報をネットワーク内のいずれかのノードに格納する。この格納先は、タスク割り当て処理を実行するノードに接続された記憶装置であることが好ましいが、ネットワークを介して接続される別のノードの記憶装置であってもよい。格納すべき情報は、上述の時間制約やタスク処理時間である。特定のノードでのみ実行すべきタスクがある場合は、ノード事前指定情報やグループ事前指定情報も格納する。上述の情報を固定値として予め準備しておく代わりに、各ノードがアプリケーションプログラムを解析することによってこれらの情報を求めてよい。

10

#### 【 0 0 3 3 】

次に、ネットワーク内のいずれかのノードの情報収集部 1 0 8 が、上述のタスク情報、ノード情報、および事前指定情報を取得する ( S 1 2 )。続いて、各ノードにいずれのタスクを割り当てるかを決定していく。このタスク割り当て処理は、五段階に分けて実行される。まず、ノード事前指定のあるタスクについて割り当て処理を実行する ( S 1 4 )。ここでは、単にタスクを指定されたノードに割り当てる。但しこのとき、ノード事前指定のあるタスクにグループ事前指定がある場合は、指定されたノードにグループの全タスクを割り当てる。次に、ノード事前指定のないタスクをそれぞれ別の仮想ノードに割り当てる ( S 1 6 )。但しこのとき、グループ事前指定のあるタスクについては、グループ毎に同一の仮想ノードに割り当てる。続いて、仮想ノードに割り当てられているタスクのうちデッドライン制約のあるタスクについて、図 1 1 を参照して後述するタスク割り当て処理を実行する ( S 1 8 )。さらに、仮想ノードに割り当てられているタスクのうちデッドライン制約のないタスクについて、後述するタスク割り当て処理を実行する ( S 2 0 )。最後に、ノードに割り当てられた全てのタスクの実行時刻を、 S 1 4 ~ S 2 0 において計算される A E S T に設定した上で、タスク配置部 1 5 0 が、それぞれの A E S T の時刻にタスクが実行されるように各ノードに配置する ( S 2 2 )。

20

#### 【 0 0 3 4 】

30

なお、図 6 のタスク割り当て処理を担当するノードは、分散アプリケーションの実行要求を出すノードとすることが好ましい。したがって、割り当て処理の担当ノードは、アプリケーションの実行要求者全員がなる可能性がある。但し、割り当て処理が同時並行して行われるので、各ノードの負荷状態などがこのタイミングで更新されたときには、必要に応じて割り当て処理の再実行をするように構成しておく。

なお、分散アプリケーション実行システム内のいずれかのノードを、別の方でタスク割り当て処理を担当するノードに決定してもよい。この場合、割り当て処理を担当するノードを、システム内のいくつかのノードに予め限定しておいてもよい。

#### 【 0 0 3 5 】

ここで、 A E S T および A L S T について説明する。

40

最先開始時刻 A E S T は、あるタスクを最も早く処理開始可能な時刻を表す。最先開始時刻は以下のように求める。計算対象のタスクの全ての先行タスクについて、その先行タスクの最先開始時刻に、当該先行タスクの処理時間と、当該先行タスクから計算対象タスクまでの通信時間を加えた時刻を求め、この計算値が最大となる（すなわち、最も時刻の遅い）ものが計算対象タスクの A E S T となる。

最遅開始時刻 A L S T は、あるタスクを時間制約内に終了するための最も遅い開始時刻を表す。最遅開始時刻は以下のように求める。（1）計算対象のタスクにデッドライン制約がある場合は、（1 - 1）計算対象タスクの全ての後続タスクについて、その後続タスクの最遅開始時刻から、計算対象タスクの処理時間と、計算対象タスクからその後続タスクまでの通信時間を減じた時刻、（1 - 2）計算対象タスクのデッドライン時刻から当

50

該計算対象タスクの処理時間を減じた時刻、のそれぞれを計算し、これらの計算値のうち最小となる（すなわち、最も時刻の早い）ものが計算対象タスクの A L S T となる。（2）計算対象のタスクにデッドライン制約がない場合は、計算対象タスクの全ての後続タスクについて、その後続タスクの最遅開始時刻から、計算対象タスクの処理時間と、計算対象タスクからその後続タスクまでの通信時間とを減じた時刻を計算し、この計算値が最小となる（すなわち、最も時刻の早い）ものが計算対象タスクの A L S T となる。

#### 【0036】

A E S T、A L S T の演算方法については、Yu-Kwong Kwok, Ishfaq Ahmad, Dynamic Critical-Path Scheduling: An Effective Technique for Allocating Task Graphs to Multiprocessors, IEEE Transactions on Parallel and Distributed Systems, 1996 March 10, vol. 7, pp. 506-521, に記載されている。本明細書ではその概略のみを説明する。

#### 【0037】

図 7 ( a ) は、A E S T の算出方法を模式的に示しており、図 7 ( b ) は、タスク間の依存関係の一例を示す。図 7 ( b ) において、白丸内の数字がタスク番号を表しており、矢印が依存関係を表す。すなわち、図 7 ( b ) では、「タスク 4」の先行タスクとして「タスク 1」、「タスク 2」、「タスク 3」があることを示している。

ここで、「タスク間の依存関係」とは、あるタスクの処理結果が他のタスクの処理に用いられるような関係をいう。互いに依存関係にあるタスクにおいて、対象タスクより時間的に先行するタスクを「先行タスク（親タスクともいう）」と呼び、時間的に後続するタスクを「後続タスク（子タスクともいう）」と呼ぶ。20

#### 【0038】

任意のノード J におけるあるタスク  $n_i$  の A E S T は、次式で算出される。なお、 $n_i$  は A E S T の計算対象となるタスクであり、 $n_{i,k}$  はタスク  $n_i$  の k 番目の先行タスクであり、 $1 \leq k \leq p$ 、すなわち  $n_i$  の先行タスクが p 個あるものとする。

$$AEST(n_i, J) = \max_{1 \leq k \leq p} \{ AEST(n_{i,k}, PE(n_{i,k})) + w(n_{i,k}) + r(PE(n_{i,k}), J)c_{k,i} \} \dots \quad (1)$$

#### 【0039】

ここで、 $PE(n_{i,k})$  は、タスク  $n_i$  の k 番目の先行タスクを割り当てたノード番号である。 $w(n_{i,k})$  は、先行タスク  $n_{i,k}$  の処理時間を表す。 $r(PE(n_{i,k}), J)$  は、先行タスクの割り当てノード  $PE(n_{i,k})$  と対象タスクの割り当てノード J が同じノードであれば 0、違う場合は 1 となる係数である。 $c_{k,i}$  は、先行タスクから対象タスクへの通信時間である。式 (1) において、左辺は「対象タスク  $n_i$  のノード J における A E S T」を表し、右辺の第 1 項は「先行タスク  $n_{i,k}$  の A E S T」を、第 2 項は「先行タスク  $n_{i,k}$  の処理時間」を、第 3 項は「先行タスク  $n_{i,k}$  と対象タスク  $n_i$  間の通信時間」を表す。30

#### 【0040】

但し、先頭のタスク（エントリタスク）については、先行タスクがひとつもない A E S T = 0 とする。

#### 【0041】

以下、図 7 ( b ) に示すタスク間の依存関係を例にして、タスク 4 についての A E S T を計算する手順について具体的に述べる。図 7 ( b ) では、タスク 4 の先行タスクはタスク 1 ~ タスク 3 の三つあるので、 $k = 1 ~ 3$  である。また、式 (1) において  $i = 4$  として、 $n_4$  がタスク 4、 $n_{4,1}$  がタスク 1、 $n_{4,2}$  がタスク 2、 $n_{4,3}$  がタスク 3 となる。40

#### 【0042】

タスク 1、タスク 2、タスク 3 がそれぞれノード 1、2、3 に割り当てられているとすると、 $PE(n_{4,1}) = PE(1) = 1$ 、 $PE(n_{4,2}) = PE(2) = 2$ 、 $PE(n_{4,3}) = PE(3) = 3$  となる。この条件の下、タスク 4 をノード 2 に割り当てたときの A E S T (4, 2) を式 (1) にしたがって計算すると、次式のようになる（図 7 ( a ) のブロック 16 8）。

$$AEST(4, 2) = \max_{1 \leq k \leq 3} \{ AEST(n_{4,k}, PE(n_{4,k})) + w(n_{4,k}) + r(PE(n_{4,k}), 2)c_{k,4} \} \dots \quad 50$$

( 2 )

【 0 0 4 3 】

式( 2 )において  $k = 1$  としたとき、 $n_{4_1}$  がタスク 1 ( ブロック 1 6 2 ) に対応するから、次式が成り立つ。

$$\begin{aligned} & \text{AEST}(1, \text{PE}(1)) + w(1) + r(\text{PE}(1), 2)c_{14} \\ &= \text{AEST}(1, 1) + w(1) + r(1, 2)c_{14} \cdots (3) \end{aligned}$$

【 0 0 4 4 】

式( 2 )において  $k = 2$  としたとき、 $n_{4_2}$  がタスク 2 ( ブロック 1 6 4 ) に対応するから、次式が成り立つ。

$$\begin{aligned} & \text{AEST}(2, \text{PE}(2)) + w(2) + r(\text{PE}(2), 2)c_{24} \\ &= \text{AEST}(2, 2) + w(2) + r(2, 2)c_{24} \\ &= \text{AEST}(2, 2) + w(2) \cdots (4) \end{aligned}$$

【 0 0 4 5 】

式( 2 )において  $k = 3$  としたとき、 $n_{4_3}$  がタスク 3 ( ブロック 1 6 6 ) に対応するから、次式が成り立つ。

$$\begin{aligned} & \text{AEST}(3, \text{PE}(3)) + w(3) + r(\text{PE}(3), 2)c_{34} \\ &= \text{AEST}(3, 3) + w(3) + r(3, 2)c_{34} \cdots (5) \end{aligned}$$

【 0 0 4 6 】

式( 3 )ないし式( 5 )の計算結果のうち最大のものを A E S T ( 4 , 2 ) と決定する。

【 0 0 4 7 】

図 8 は、上記処理をフローチャートとして表す。まず、対象タスク  $n_i$  をあるノード J に仮に割り当てる ( S 5 0 )。開始時刻算出部 1 4 4 は、対象タスク  $n_i$  の先行タスクの A E S T を計算し ( S 5 2 )、先行タスクの処理時間をタスク情報格納部 1 2 0 から取得する ( S 5 4 )。また、開始時刻算出部 1 4 4 は、タスク情報格納部 1 2 0 からタスク間転送データ量を、ノード情報格納部 1 2 6 からレイテンシ、スループットを取得し、対象タスク  $n_i$  をノード J に割り当てたときの、先行タスクから対象タスク  $n_i$  へのタスク間通信時間を算出する ( S 5 6 )。先行タスクと対象タスク  $n_i$  とが同一ノードにある場合は、通信時間は「 0 」になる。

【 0 0 4 8 】

続いて、式( 1 )にしたがって、S 5 2 ~ S 5 6 で取得した値を加算する ( S 5 8 )。すなわち、S 5 2 で計算した先行タスク A E S T 、S 5 4 で取得した先行タスク処理時間、および S 5 6 で取得したタスク間通信時間を加算する。以上の S 5 0 ~ S 5 8 の演算を、対象タスク  $n_i$  の全ての先行タスク  $n_{i_k}$  について実行し、S 5 8 で算出される計算結果のうち最大値を、対象タスク  $n_i$  の A E S T に決定する ( S 6 0 )。

【 0 0 4 9 】

図 9 ( a ) は、A L S T の算出方法を模式的に示しており、図 9 ( b ) は、タスク間の依存関係の一例を示す。図 7 ( b ) と同様、白丸内の数字がタスク番号を表しており、矢印が依存関係を表す。すなわち、図 9 ( b ) では、「タスク 1 」の後続タスクとして「タスク 4 」があり、「タスク 2 」の後続タスクとして「タスク 4 」と「タスク 5 」があり、「タスク 3 」の後続タスクとして「タスク 5 」があることを示している。

A L S T は、全タスクを終了させるためにそのタスクの処理を開始すべき最後のタイミングを表す。任意のノード J におけるあるタスク  $n_i$  の A L S T は、次式で算出される。なお、 $n_i$  は A L S T の計算対象となるタスクであり、 $n_{i_m}$  はタスク  $n_i$  の m 番目の後続タスクであり、 $1 \leq m \leq q$  、すなわち  $n_i$  の後続タスクが q 個あるとする。

$$\text{ALST}(n_i, J) = \min_{1 \leq m \leq q} \{ \text{ALST}(n_{i_m}, \text{PE}(n_{i_m})) - r(\text{PE}(n_{i_m}), J)c_{i_m} - w(n_i), \text{Deadline}(n_i) - w(n_i) \} \cdots (6)$$

【 0 0 5 0 】

ここで、 $\text{PE}(n_{i_m})$  は、タスク  $n_i$  の m 番目の後続タスクを割り当てたノード番号である。 $w(n_i)$  は、対象タスクの処理時間を表す。 $r(\text{PE}(n_{i_m}), J)$  は、後続タス

10

20

30

40

50

$c_{i,m}$  の割り当てノード  $PE(n_{i,m})$  と対象タスクの割り当てノード  $J$  が同じノードであれば 0、違う場合は 1 となる係数である。 $c_{i,m}$  は、対象タスクから後続タスクへの通信時間である。式(6)において、左辺は「対象タスク  $n_i$  のノード  $J$  における ALST」を表し、右辺の第 1 項は「後続タスク  $n_{i,m}$  の ALST」を、第 2 項は「対象タスク  $n_i$  と後続タスク  $n_{i,m}$  間の通信時間」を、第 3 項は「対象タスク  $n_i$  の処理時間」を表す。

### 【0051】

但し、最後のタスク（出口タスク）については以下のようにする。

デッドライン時刻有りの場合： $ALST = ( \text{デッドライン時間} \text{Deadline}(n_i) ) - ( \text{処理時間} w(n_i) )$

10

デッドライン時刻の指定なしの場合： $ALST =$

### 【0052】

したがって、デッドライン時刻の指定のない経路とデッドライン時刻のある経路についてそれぞれ ALST を計算した場合は、常にデッドライン時刻有りの経路の ALST が採用されることになる。

なお、デッドライン制約は、出口タスクだけでなく、経路の途中のタスクに設定することも可能である。

### 【0053】

以下、図 9 (b) に示すタスク間の依存関係を例にして、タスク 2 についての ALST を計算する手順について具体的に述べる。図 9 (b) では、タスク 2 の後続タスクはタスク 4 とタスク 5 の二つがあるので、 $m = 1, 2$  である。また、式(6)において  $i = 2$  として、 $n_{2,1}$  がタスク 2、 $n_{2,2}$  がタスク 4、 $n_{2,3}$  がタスク 5 となる。

20

### 【0054】

タスク 4、タスク 5 がそれぞれノード 1、3 に割り当てられているとすると、 $PE(n_{2,1}) = PE(4) = 1$ 、 $PE(n_{2,2}) = PE(5) = 3$  となる。この条件の下、タスク 2 をノード 2 に割り当てたときの  $ALST(2, 2)$  を式(6)にしたがって計算すると、次式のようになる。

$$ALST(2, 2) = \min_{m=1, 2} \{ ALST(n_{2,m}, PE(n_{2,m})) - r(PE(n_{2,m}), J)c_{2,m} - w(n_2), \text{Deadline}(n_2) - w(n_2) \} \dots (7)$$

### 【0055】

30

式(7)において  $m = 1$  としたとき、 $n_{2,1}$  がタスク 4（ブロック 178）に対応するから、次式が成り立つ。

$$\begin{aligned} & \{ ALST(4, PE(4)) - r(PE(4), 2)c_{2,4} - w(2), \text{Deadline}(2) - w(2) \} \\ & = \{ ALST(4, 1) \} - r(1, 2)c_{2,4} - w(2), \text{Deadline}(2) - w(2) \} \dots (8) \end{aligned}$$

### 【0056】

式(7)において  $m = 2$  としたとき、 $n_{2,2}$  がタスク 5（ブロック 184）に対応するから、次式が成り立つ。

$$\begin{aligned} & \{ ALST(5, PE(5)) - r(PE(5), 2)c_{2,5} - w(2), \text{Deadline}(2) - w(2) \} \\ & = \{ ALST(5, 3) \} - r(3, 2)c_{2,5} - w(2), \text{Deadline}(2) - w(2) \} \dots (9) \end{aligned}$$

### 【0057】

40

式(8)、式(9)の計算結果のうち最小のものを  $ALST(2, 2)$  と決定する。図 9 (a) の例では、式(8)の結果に対応するブロック 174 の  $ALST(2, 2)$  の方が、式(9)の結果に対応するブロック 180 の  $ALST(2, 2)$  よりも小さい、すなわち時刻が早いので、ブロック 174 の  $ALST(2, 2)$  が採用される。

### 【0058】

図 10 は、上記処理をフローチャートとして表す。まず、対象タスク  $n_i$  をあるノード  $J$  に仮に割り当てる (S70)。開始時刻算出部 144 は、対象タスク  $n_i$  の後続タスクの ALST を計算し (S72)、対象タスク  $n_i$  の処理時間をタスク情報格納部 120 から取得する (S74)。また、開始時刻算出部 144 は、タスク情報格納部 120 からタスク間転送データ量を、ノード情報格納部 126 からレイテンシとスループットとを取得

50

し、対象タスク  $n_i$  をノード J に割り当てたときの、対象タスク  $n_i$  から後続タスクへの通信時間を算出する (S76)。AEST の場合と同様に、対象タスク  $n_i$  と後続タスクとが同一ノードにある場合は、通信時間は「0」になる。

#### 【0059】

続いて、S72～S76で計算した値について、「後続タスク ALST - (対象タスク処理時間 + 通信時間)」を計算する (S78)。さらに、開始時刻算出部144は、デッドライン時刻から対象タスクの処理時間を減じたものを計算する (S80)。S70～S80の一連の演算を、対象タスク  $n_i$  の先行タスク  $n_{i_m}$  の全てについて実行し、S78、S80で算出される計算結果のうち最小値を、対象タスク  $n_i$  のALSTに決定する (S82)。

10

#### 【0060】

続いて、図6のフローチャートの各ステップを詳述していく。

#### 【0061】

図11は、図6中のタスク割り当て処S18、S20のフローチャートである。S18、S20は、割り当て対象となるタスクが異なるだけであり、同一の処理内容を繰り返す。ここでは、ノード事前指定のないタスクを別々の仮想ノードに割り当てた状態を初期状態として、各ノードを実在のノードに割り当てていく処理を実行する。タスク割り当て処理は、以下に述べるS30～S44の対象タスク選択処理と、S46のノード選択処理を含む。

#### 【0062】

まず、開始時刻算出部144は、対象となる全タスクのAESTを図8のフローチャートにしたがって計算し (S30)、次に全タスクのALSTを図10のフローチャートにしたがって計算する (S32)。対象タスク選択部146は、対象となる全てのタスクが仮想ノードでないいずれかのノードに割り当て済みか否かを判定する (S34)。割り当て済みであれば (S34のY)、タスク割り当て処理を終了する。未だ仮想ノードに割り当てられているタスクがあれば (S34のN)、対象タスク選択部146は、ALSTとAESTの差分 (ALST - AEST) を未割り当てのタスクについて計算し (以下、これを「タスク可動範囲」とも呼ぶ)、タスク可動範囲が最小となるタスクを選択する (S36)。S36でひとつのタスクが選択できれば (S38のY)、S40～S44をスキップする。S36でタスク可動範囲が等しくなるタスクが複数ある場合は (S38のN)、対象タスク選択部146は、それらのうち、先行タスクまたは後続タスクとの間で最も長いタスク間通信時間となる経路を持つタスクを選択する (S40)。S40でひとつのタスクが選択できれば (S42のY)、S44をスキップする。S42で、通信時間が等しくなるタスクが複数ある場合 (S42のN)、対象タスク選択部146は、それらのタスクのうち最小のAESTを持つタスクを選択する (S44)。こうして、割り当ての対象となるタスクが決定すると、ノード選択部148がノード選択処理を実行して割り当て対象タスクをいずれかのノードに振り分ける (S46)。この結果、他のタスクのAESTおよびALSTも変化するので、S30からの処理を繰り返す。

20

#### 【0063】

なお、S40において、通信経路の両側のタスク、つまり送信側のタスクと受信側のタスクがともに未割り当ての段階では、タスク間通信時間を求めることができない。この場合、対象タスク選択部146は、受信側のタスク（換言すれば、より後続側のタスク）を優先して割り当て対象のタスクとして選択するようにしてもよい。これによって、後述するタスクのグループ化を優先して実施することができる。

30

#### 【0064】

図11の割り当て処理は、仮想ノード（後述するグループ化のための仮想ノードを含む）に割り当てられた全てのタスクが、仮想でない実在のノードに割り当てられた時点で終了する（図17参照）。

なお、仮想ノードのタスク間通信時間を計算する際に用いるレイテンシ、スループットについては、予め定めた固定値を使用したり、実在するノードのレイテンシ、スループッ

40

50

トの平均値を用いたりする方法が考えられる。

#### 【0065】

図11のフローチャートにおける処理をまとめると、本実施の形態において、「最も重要な」タスクとは、以下の三つの基準で選択される。

評価基準1. A L S T と A E S T の差分（タスク可動範囲）が最小のタスク

評価基準2. 候補となるタスクが複数ある場合、最も長いタスク間通信時間となる経路を持つタスク

評価基準3. 基準2においても候補となるタスクが複数ある場合、A E S T が最小となるタスク

#### 【0066】

10

図12は、ノード選択部148の詳細な機能ブロック図である。この図についても、これらの機能ブロックはハードウェア、ソフトウェアの組み合わせによって様々な形で実現できる。

#### 【0067】

ノード選択部148は、前処理部200、ノード選択判定部210、および後処理部230を含む。

前処理部200は、タスクの割当先ノードを選択するに当たり必要な処理を実行する。対象タスク確認部202は、割り当て対象タスクのデッドライン時刻の有無、処理時間、通信時間、ノード事前指定およびグループ事前指定があるか否かの情報を、格納部130から取得する。先後タスク確認部204は、割り当て対象タスクの先行タスクおよび後続タスクについての情報を格納部130から取得する。ノードリスト作成部206は、対象タスク確認部202および先後タスク確認部204の情報を参考にして、割り当て対象タスクを配置可能なノード情報が含まれるノードリストを作成する。

20

#### 【0068】

ノード選択判定部210は、A E S T、A L S T および、前処理部200で準備された情報などに基づいて、割り当て対象タスクを割り当てるノードを選択する。

ノードリスト作成部206で作成されたノードリストは、ノードリスト格納部220に格納される。また、図5の開始時刻算出部144で計算されたA E S T およびA L S T は、開始時刻格納部222に記憶されている。

#### 【0069】

30

空き時間検出部214は、割り当て対象タスクを仮に割り当てるノード（以下、「候補ノード」という）を選択した後、開始時刻格納部222内のA E S T およびA L S T を使用して、候補ノード上での割り当て対象タスクの実行が可能となる空き時間を検出する。より具体的には、各ノードに割り当て対象タスクを割り当てる場合の仮A E S T を計算する。割り当て対象タスクを候補ノードに割り当てる場合、その仮A E S T に開始するように割り当てる仮定し、割り当てる対象タスクの最も重要な後続タスクを、最も早く開始できる時刻（後続タスクA E S T ）を求める。そして、後続タスクA E S T が最小となるノードを割り当てる対象タスクの割当先として選択する。候補ノードが複数ある場合には、仮A E S T が最小のものを優先する。A E S T 条件判定部224は、空き時間検出部214で算出されるA E S T の条件判定を実行する。

40

なお、「最も重要な後続タスク」は、割り当てる対象タスクの後続タスクの中から、上述の評価基準1～3にしたがって決定される。このとき、A L S T と A E S T の差分、およびA E S T については、各後続タスクについての値を用いるが、タスク間通信時間については、割り当てる対象タスクと各後続タスクとの間の通信時間を用いることに注意する。

#### 【0070】

後処理部230は、ノード選択判定部210で選択されたノードを受け取り、必要な後処理を実行する。後処理部230は、必要に応じてタスクのグループ化を実行するグループ化部226を含む。

#### 【0071】

図13は、ノード選択処理のフローチャートである。前処理では、割り当てる対象タスク

50

$n_i$  の割当先候補となるノードを列挙するノードリストを作成する (S90)。ノードリスト内の各ノードに対してメインループを実行して、割り当て対象タスク  $n_i$  を配置するノードを選択する (S92)。後処理では、割り当て対象タスク  $n_i$  を選択されたノードに割り当てた上で、そのノードが後述する仮想ノードの場合には、タスクのグループ化を実行する (S94)。

#### 【0072】

図14は、図13におけるS90の前処理のフローチャートである。

ノードリスト作成部206は、割り当て対象タスク  $n_i$  のノード事前指定があるか否かを判定する (S100)。ノード事前指定があれば (S100のY)、そのノードをノードリストに加える (S102)。ノード事前指定がなければ (S100のN)、割り当て対象タスク  $n_i$  を配置可能な空きリソースを有するノードを検索し、そのノードをノードリストに加える (S104)。

#### 【0073】

次に、ノードリスト作成部206は、割り当て対象タスク  $n_i$  にデッドライン時刻が存在するか否かを確認する (S106)。デッドライン時刻がない場合 (S106のN)、続くS108、S110をスキップする。デッドライン時刻がある場合 (S106のY)、さらに、割り当て対象タスクの最も重要な先行タスクがいずれかのノードに割り当て済みか否かを判定する (S108)。割り当て済みであれば (S108のN)、S110をスキップし、割り当て済みでなければ (S108のY)、ノードリストに仮想ノードを追加する (S110)。この仮想ノードは、タスクを一時的にグループ化するために使用する。そして、メインループで使用する各変数に初期値をセットする (S112)。これで前処理は終了する。

なお、「最も重要な先行タスク」は、割り当て対象タスクの先行タスクの中から、上述の評価基準1～3にしたがって決定される。このとき、ALSTとAESTの差分、およびAESTについては、各先行タスクについての値を用いるが、タスク間通信時間については、各先行タスクと割り当て対象タスクとの間の通信時間を用いることに注意する。

#### 【0074】

図15および図16は、図13におけるS92のメインループのフローチャートである。

空き時間検出部214は、ノードリスト内の全ノードについての検出処理が終了したか否かを判定する (S120)。終了していない場合は、ノードリストからひとつのノードを候補ノードJとして選択し (S122)、候補ノードJに割り当て対象タスク  $n_i$  を割り当てるだけのリソースが余っているか否かを判定する (S123)。リソースに余裕がないければ (S123のN)、S120に戻る。リソースが余っていれば (S123のY)、そのノードについて空き時間検出処理を実行して、割り当て対象タスク  $n_i$  の仮AESTを求める (S214)。仮AESTが算出可能であれば (S126のY)、図16に進む。仮AESTが算出不可能であれば (S126のN)、S120に戻る。

#### 【0075】

図16に移り、空き時間検出部214は、対象タスク  $n_i$  の重要後続タスク  $n_c$  があるか否かを判定する (S140)。重要後続タスク  $n_c$  がある場合 (S140のY)、タスク  $n_i$  を候補ノードJに仮に割り当てる (S142)。空き時間検出部214は、タスク  $n_c$  のノード指定があるか否かを判定する (S146)。このノード指定は、ノード事前指定と、このアルゴリズムにより割当先が決定された場合の両方を含む。ノード指定がない場合は (S146のN)、空き時間検出処理により、後続タスク  $n_c$  を候補ノードJに割り当てるときの後続タスクのAESTを計算する (S148)。ノード指定がある場合には (S146のY)、指定ノードに後続タスク  $n_c$  を割り当てるときの後続タスクのAESTを計算する (S150)。重要後続タスク  $n_c$  が既に割り当て済みであれば、対象タスク  $n_i$  を割り当てることで値が変わるので、重要後続タスク  $n_c$  のAESTを再計算する。重要後続タスク  $n_c$  にノード事前指定があり、かつその指定されたノードに十分なリソースがない場合、重要後続タスク  $n_c$  のAESTを「」とする。なお、重要後続タ

10

20

30

40

50

スク $n_c$ が存在しない場合には、後続タスクAESTを「0」とする。後続タスクのAESTを計算すると、仮に割り当てた割り当て対象タスク $n_i$ を元に戻す(S152)。

#### 【0076】

次に、AEST条件判定部224は、S148またはS150で求めた後続タスクAESTが、S156でセットされる最小後続タスクAEST未満か否かを判定する(S154)。つまり、割り当て対象タスク $n_i$ の割当先ノードには、後続タスクAESTが最小のものが優先される。これは、後続タスクのAESTが小さいほど、ノード経路を短くしてタスク間通信時間を短縮できるためである。後続タスクAESTが最小であれば(S154のY)、AEST条件判定部224は、候補ノードJを暫定的にベストノードにセットし、最小後続タスクAESTを現在の後続タスクAESTで書き換える。さらに、最小対象タスクAESTを、対象タスク仮AESTで書き換える(S158)。フローは図15のS120に戻り、ノードリスト内の別のノードについて上記処理を繰り返す。  
10

#### 【0077】

後続タスクAESTが最小後続タスクAEST以上の場合(S154のN)、AEST条件判定部224は、さらに、後続タスクAESTが最小後続タスクAESTと等しく、かつ、仮AESTがS158でセットされる最小仮AEST未満であるかを判定する(S156)。後続タスクAESTが最小後続タスクAESTと等しく、かつ、仮AESTが最小であれば(S156のY)、S158に進む。後続タスクAESTが最小後続タスクAESTより大きいか、または仮AESTが最小でない場合、対象タスクをこの候補ノードJに割り当てるべきでないので、フローはS120に戻り、別のノードについて上記処理を繰り返す。  
20

#### 【0078】

図17は、図13におけるS94の後処理のフローチャートである。

図15のS120において、ノードリスト内の全ノードについての処理が終了すると、フローは図17に移る。後処理部232は、上記処理でベストノードが存在するか否かを判定する(S170)。ベストノードが存在しない場合、つまり割り当て対象タスク $n_i$ の割当先ノードが見つからなかった場合には(S170のN)、このノード選択処理は失敗であり(S172)、適切なフォロー処理を実行する。ベストノードが存在する場合(S170のY)、割り当て対象タスク $n_i$ をそのベストノードに割り当てる(S174)。割り当てられたノードが仮想ノードである場合(S176のY)、グループ化部226がタスクのグループ化処理を実行した上で(S178)、ノードリストをリセットし(S180)、今回のノード選択処理は成功となる(S182)。割り当てられたノードが仮想ノードでない場合(S176のN)、S178およびS180はスキップする。  
30

#### 【0079】

図18は、図15のS124、図16のS148およびS150の空き時間検出処理の詳細なフローチャートである。空き時間検出部214は、候補ノードJに割り当て済みの全てのタスクについて、AESTとALSTを計算する(S190)。なお、この計算は開始時刻算出部144によって実行されてもよい。次に、対象タスクを配置可能な位置を選択し(S192)、先行タスクの終了時刻から後続タスクの開始時刻までの間に、対象タスク $n_i$ の処理時間分の空きがあるか否かを判定する(S194)。空き時間ががあれば(S194のY)、そのタスクのAESTを出力する(S196)。空き時間がなければ(S194のN)、そのノード内で、対象タスクを配置する可能性のある全ての位置について検討したか否かを判定し(S198)、未検討の配置があれば(S198のN)、S192に戻り他の配置について検討する。全ての位置について確認した場合には(S198のY)、「PUSH型挿入」による配置が可能か否かを判定する(S200)。  
40

#### 【0080】

ここで、PUSH型挿入について説明する。既に候補ノードJに割り当て済みの各タスクのALSTを遅延させることによって、対象タスク $n_i$ (グループ化されたタスクの場合は、同じグループのタスク全て)を候補ノードJに割り当てるか否かを検討する。つまり、アプリケーション全体の終了時刻が遅れることを許容して、対象タスクを必ずい  
50

すれかの実在のノードに割り当てるようとする。

PUSH型挿入による配置が可能であれば(S200のY)、そのタスクのAESTを出力する(S196)。PUSH型挿入による配置が不可能であれば(S200のN)、このノードJには対象タスクの割り当てが不可能となる。

#### 【0081】

図19(a)、図19(b)は、図18の空き時間検出処理を模式的に説明する図である。空き時間検出処理では、既に候補ノードJに割り当て済みの各タスクの最遅開始時刻ALSTを遅らせずに、対象タスク $n_i$ を候補ノードJに割り当てることができるか否かを判定する。

空き時間検出部214は、候補ノードJにタスク $n_{j_k}$ とタスク $n_{j_k+1}$ が既に割り当て済みであるとき、割り当て対象タスク $n_i$ をさらに配置可能か否かを判定する。但し、対象タスク $n_i$ の挿入位置(つまり、タスク $n_{j_k}$ とタスク $n_{j_k+1}$ の間)より後には、対象タスク $n_i$ の先行タスクが存在せず、挿入位置より前には、対象タスク $n_i$ の後続タスクが存在しないようにする。

#### 【0082】

タスク $n_j$ の処理終了時刻は、AESTとタスク $n_j$ の処理時間を用いて、 $\{ALST(n_j, J) + w(n_j)\}$ で表せる。また、タスク $n_j$ の最先開始時刻は、AEST( $n_j, J$ )で表せる。したがって、割り当て対象タスクをタスク $n_{j_k}$ とタスク $n_{j_k+1}$ の間に配置できるかは、タスク $n_{j_k}$ の終了時刻とタスク $n_{j_k+1}$ の開始時刻の差分である「タスク実行可能範囲」が、対象タスク $n_i$ の処理時間以上であればよいので、次式が成立すればよい。

$$\min\{ALST(n_i, J) + w(n_i), ALST(n_{j_k+1}, J)\} - \max\{AEST(n_i, J), AEST(n_{j_k}, J) + w(n_{j_k})\} - (AEST(n_i) - ALST(n_i)) - w(n_i) \cdots (10)$$

#### 【0083】

第1項では、タスク $n_{j_k+1}$ の最遅開始時刻と、対象タスク $n_i$ の処理終了時刻のうち最も遅い場合とを比較して、時刻が早い方が選択される。第2項では、対象タスク $n_i$ の最先開始時刻と、タスク $n_{j_k}$ の処理終了時刻のうち最も早い場合とを比較して、時刻が遅い方が選択される。これらの差分が対象タスク $n_i$ 自体の処理時間よりも長ければ、対象タスク $n_i$ をタスク $n_{j_k}$ とタスク $n_{j_k+1}$ との間に配置することが可能であり、差分が対象タスク $n_i$ 自体の処理時間よりも短ければ、対象タスク $n_i$ をそれらの間に配置することが不可能であると判定される。なお、第3項は、AESTとALSTの基準となる時刻が異なることに基づく補正項である。

#### 【0084】

割り当て可能であれば、空き時間検出部214は、対象タスク $n_j$ を配置できる最先のAESTを返す。割り当て不可であれば、上述の「PUSH型挿入」による配置を検討する。

#### 【0085】

図19(a)、図19(b)を参照して、さらに説明する。図19(a)のケースでは、対象タスク $n_i$ の最先開始時刻AEST( $n_i, J$ )の方がタスク $n_{j_k}$ の処理終了時刻AEST( $n_{j_k}, J$ ) +  $w(n_{j_k})$ よりも遅い時刻であるため、対象タスク $n_i$ の最先開始時刻が採用される。また、対象タスク $n_i$ の処理終了時刻ALST( $n_i, J$ ) +  $w(n_i)$ は、タスク $n_{j_k+1}$ の最遅開始時刻ALST( $n_{j_k+1}, J$ )よりも早い時刻であるため、対象タスク $n_i$ の処理終了時刻が採用される。したがって、このケースでは対象タスク $n_i$ の実行可能範囲は次式のようになる。

$$(実行可能範囲) = \{ALST(n_i, J) + w(n_i)\} - AEST(n_i, J) \cdots (11)$$

#### 【0086】

図19(b)のケースでは、タスク $n_{j_k}$ の処理終了時刻AEST( $n_{j_k}, J$ ) +  $w(n_{j_k})$ の方が対象タスク $n_i$ の最先開始時刻AEST( $n_i, J$ )よりも遅い時刻であるため、タスク $n_{j_k}$ の処理終了時刻が採用される。また、タスク $n_{j_k+1}$ の最遅開始時刻ALST( $n_{j_k+1}, J$ )の方が対象タスク $n_i$ の処理終了時刻ALST( $n_i, J$ ) +  $w(n_i)$ よりも早い時刻であるため、タスク $n_{j_k+1}$ のALSTが採用される。したがって、このケースでは対象タスク $n_i$ の実行可能

10

20

30

40

50

範囲は次式のようになる。

$$(実行可能範囲) = ALST(n_{j_{k+1}}, J) - \{AEST(n_{j_k}, J) + w(n_{j_k})\} \dots \quad (12)$$

#### 【0087】

図20は、図18のS200における「PUSH型挿入」を説明する図である。図20の左側のブロック270に示すように、対象タスク $n_i$ の実行可能範囲内では、対象タスク $n_i$ の処理時間をタスク $n_{j_{k+1}}$ の処理時間と重ねない限り対象タスク $n_i$ をノードJに配置できない場合がある。このようなときは、空き時間検出部214は、図20の右側のブロック272に示すように、タスク $n_{j_{k+1}}$ のALSTを変更してタスク $n_{j_k+1}$ の開始時刻を後ろにずらすことによって、対象タスク $n_i$ の配置を実現する。これは、アプリケーション全体の終了時刻を遅らせることにつながる。

10

#### 【0088】

以上説明したように、空き時間検出処理では、タスクの割当先ノードの選択方法として、対象タスクとその最も重要な後続タスク（すなわち、未だ仮想ノードに割り当てられている後続タスクのうち、そのAESTとALSTとの差が最小のタスク）とを割り当てた際に、後続タスクAESTが最小となるノードを選ぶようにした。これによって、対象タスクの1ステップ後の後続タスクの割り当てまでを考慮して対象タスクの割当先ノードが選択されることになるので、対象タスクのAESTは早期にあるが、後続タスクのAESTが遅れ、結果として全体の処理時間が長期化してしまうような事態を回避することができる。

#### 【0089】

20

##### (実施例)

本発明の実施の形態について詳細に説明した。以降では、実施の形態において述べた各処理を適用してタスクをノードに割り当てる様子を、具体例を参照しつつ説明する。

#### 【0090】

図1に示した5つのノードを含む分散アプリケーション実行システムにおいて、図21に示す先後関係のあるタスクを処理する場合について説明する。図中、白丸内の数字は、「プレイヤーの番号 - タスク番号」を表しており、例えば「1 - 1」は、「プレイヤー1の1番目のタスク」を表している。図21では、プレイヤー1に関連したタスクとして「1 - 1」～「1 - 6」、プレイヤー2に関連したタスクとして「2 - 1」～「2 - 6」が含まれ、さらに、上述した対戦ゲームアプリケーションの衝突処理のように、両プレイヤーに対しての演算を同一ノードで実行すべきタスクとして「3 - 1」が規定される。

30

#### 【0091】

さらに、ノード事前指定として、タスク「1 - 1」「1 - 6」についてはノード1が指定され、タスク「2 - 1」「2 - 6」についてはノード5が指定されているとする。これらは、コントローラによる入力処理やディスプレイへの画面表示などの、各プレイヤーのノードでのみ実施されるべきタスクである。また、タスク「3 - 1」についてはノード4が指定されているとする。

#### 【0092】

また、デッドライン時刻として、プレイヤー1の経路については200ms、プレイヤー2の経路については250msが設定されている。

40

さらに、説明を簡単にすべく、各タスク間の通信時間計算のためのレイテンシは5ms、スループットは100Mbpsに統一する。また、各ノードとも計算リソースは十分に空いているものとする。

#### 【0093】

まず、情報収集部108により、各タスクの処理時間、レイテンシ、スループット、転送データ量を取得する。図22は、それらを取得した後のタスク相関図であり、図中にそれらの値が記載してある。白丸の左下または右下の数字がタスクの処理時間であり、矢印にそって書かれた数字が転送データ量である。タスク間通信時間は、「レイテンシ + (スループット × 転送データ量)」で算出される。

#### 【0094】

50

続いて、ノード事前指定されているタスクがそれぞれのノードに配置される。このとき、タスク間の先後関係は当然考慮され、また必要に応じて各ノードの空きリソース量も確認される。

#### 【0095】

続いて、ノード事前指定のないタスクを仮想ノードに配置し、開始時刻算出部144により、各タスクについてAESTおよびALSTが計算される。この計算には、先に述べたデッドライン時刻から、タスクの処理時間、通信時間を用いて、上述した数式を使用して計算される。例えば、タスク2-6については、デッドライン時刻250msからタスク2-6の処理時間10msを減じた240msがALSTとなる。タスク2-5については、タスク2-6のAEST240msから、5Mb分の通信時間50msと、レイテンシ5msと、タスク2-5の処理時間20msを減じた165msがALSTとなる。他のタスクについても同様である。なお、タスク3-1については、タスク1-6から辿る左側の経路と、タスク2-6から辿る右側の経路の両方から算出するため、ALSTが二つ求められるが、このような場合は、左側の経路から求められた、より小さい値である-5msがALSTとなる。10

#### 【0096】

AESTについては、タスク1-1および2-1のAESTを0とし、そこからタスク処理時間と通信時間を加えていく。例えば、タスク1-2であれば、タスク1-1の処理時間10ms、1Mb分の通信時間10ms、およびレイテンシ5msを加えた25msがAESTとなる。他のタスクについても同様である。20

#### 【0097】

次に、(ALST - AEST)で求められるタスク可動範囲を算出する。以上の計算の結果、各タスクのAEST、ALST、タスク可動範囲は、図23に示す表のようになる。。

#### 【0098】

続いて、ノードの選択に移る。最も余裕のない経路、すなわちタスク可動範囲が最小(-130ms)のタスクのうち、通信時間の最も長いものを検出する。図23から分かるように、これに適合するのはタスク1-4とタスク1-5間の経路(以下、経路Aという)、およびタスク1-5とタスク1-6間の経路(以下、経路Bという)である。二つの経路A、Bの通信時間は55msで等しいので、対象タスクを決定するために、それらの後続タスクのAESTについてさらに検討する。この場合、経路Aの後続タスク1-5のAEST(245ms)と経路Bの後続タスク1-6のAEST(320ms)を比較すると、タスク1-5のAESTの方が小さいので、まずタスク1-5の配置を先に考慮する。30

#### 【0099】

代替的に、二つの経路A、Bの通信時間が55msで等しいとき、次のような手順で対象タスクを決定してもよい。まず、経路Aについて考えると、タスク1-4とタスク1-5はどちらも未割り当てなので、上述したように、グループ化を優先して行うべく後続側のタスク1-5を割り当て候補とする。次に、経路Bについて考えると、タスク1-6は割り当て済みなので、タスク1-5が割り当て候補となる。したがって、タスク1-5の配置を先に考慮する。40

#### 【0100】

ここで、空き時間検出処理により、タスク1-5のベストノード、後続タスクAEST、仮AESTを求める。最初の状態では、タスク1-5の先行タスクである1-4が未割り当てなので、タスク1-4だけを割り当てる仮想ノード0を想定する。この時点では、タスク1-5のベストノードはヌル値であり、後続タスクAEST、仮AESTは「」である。また、タスク1-5を割り当て可能なノードのリストには、仮想ノード0およびノード1~5の6つのノードが登録される。ここで、まずリストの先頭にある仮想ノード0にタスク1-5を割り当てる場合を考える。上記式(2)の計算をすると、仮想ノード0に割り当てる場合のタスク1-5の仮AESTは190msになる。50

**【0101】**

次に、重要後続タスク  $n_c$  として、タスク 1 - 6 を選択する。タスク 1 - 5 を仮想ノード 0 に割り当てた場合は、タスク 1 - 6 の AEST は 265 ms になる。

したがって、後続タスク AEST (265 ms) < 最小後続タスク AEST ( ) になるので、ベストノードに仮想ノード「0」、最小後続タスク AEST に「265」、最小仮 AEST に「190」が代入される。

**【0102】**

上記と同様の計算を、残りのノード 1 ~ 5 について繰り返す。J = 1 のとき、後続タスク AEST は 265 ms、仮 AEST は 245 ms になるため、ベストノードは 0 のまま変更されない。J = 2 ~ 5 についても同様である。  
10

このように、DCP 法とは異なり、後続タスク AEST の小さい方を優先するが、後続タスク AEST が同一の場合には、仮 AEST が小さい方を優先する。

**【0103】**

その結果、ベストノードは「0」になるので、タスク 1 - 5 は仮想ノード 0 に割り当てる。すなわち、タスク 1 - 4 とは同じノードに割り当てるべきと判断され、タスク 1 - 4 と 1 - 5 はグループ化される（図 24 参照）。グループ化されたタスクは、以後の計算ではひとつのタスクと見なされて処理される。すなわち、グループ内のタスク間の通信時間は 0 であり、タスクの処理時間のみ加算されたもので計算する。

**【0104】**

1 - 4 と 1 - 5 がグループ化された状態で、全タスクの AEST と ALST を更新する。  
20  
。グループ化されて同一ノードに配置されたため、1 - 4 と 1 - 5 の間の通信時間が「0」になることで、全タスクの AEST、ALST が更新される。更新後の各タスクの AEST、ALST、タスク可動範囲を図 25 に示す。

**【0105】**

この結果、今度はタスク可動範囲が -80 ms のタスクが割り当て対象になり、これらのうち通信時間の最も長い経路として、タスク 2 - 4 と 2 - 5 の間と、タスク 2 - 5 と 2 - 6 の間 (55 ms) が検出される。上述と同様に、タスク 2 - 5 について、ノード選択処理が実行される。その結果、2 - 4 と 2 - 5 はグループ化される。

**【0106】**

次に、タスク 1 - 4 と 1 - 5 のグループについての計算が実施され、その計算結果に従うと、タスク 1 - 4、1 - 5、1 - 6 は同一のグループになる。ここで、タスク 1 - 6 は、ノード 1 に配置されるよう指定されている。したがって、タスク 1 - 4、1 - 5、1 - 6 は、ノード 1 に割り当てられることが決定される（図 26 参照）。

このように計算を繰り返していくことによって、最終的に各タスクは図 27 に示すようにノードに割り当てられる。

**【0107】**

以上説明したように、実施の形態によれば、最先開始時刻 AEST と最遅開始時刻 ALST の差分であるタスク可動範囲が最大のタスクからノードへの割り当てを実行する。また、タスクのノードへの割り当てを実行する際に、重要な経路、すなわちタスク間の通信時間が最大になるタスクを割り当てるノードから順に割り当てを実行するようにした。これによって、通信遅延時間を効率的に削減することができる。また、より重要なタスクから順に割り当てが決定されるため、重要度の低いタスクによってリソースが先に消費されることが回避され、タスクの実施に必要なリソースを先に確保することができる。  
40

**【0108】**

また、最遅開始時刻 ALST を算出する際に、タスクのデッドライン時刻を考慮して算出するようにした。これによって、タスクの終了期限に対する余裕時間を考慮して、最遅開始時刻 ALST を計算することができる。

**【0109】**

また、タスク割り当てを実行することによって、ネットワーク内の複数のノード間で計算リソース（例えば、CPU 時間、メモリ容量など）を融通することができる。したがつ  
50

て、単一機器の性能以上の能力を発揮させることも可能となる。

#### 【0110】

従来は、分散ネットワーク環境における格闘ゲームなどでは、衝突判定を専門に担当する専用サーバを準備して整合性を維持していた。この方式では、サーバとノード間の通信による遅延時間が大きくなりがちである。また、参加プレイヤー数の増加につれ、衝突判定の演算量も増大するので、サーバを増強する必要がある。

これに対し、本実施の形態では、専用サーバを用意せず全ての演算はノードで実行されるため、専用サーバの増強を考える必要はない。

#### 【0111】

また、本発明の仕組みを採用することによって、並列システムや分散システムでもリアルタイム処理を実行することができる。10

従来では、ネットワークに存在するノード数、各ノードの性能、ネットワークの構造などが事前に分からぬ場合や、アプリケーション実行中にノードの増減が発生する分散ネットワーク環境では、ノード間でタスクをリアルタイムでやりとりする処理は不可能であった。これに対し、本発明では、ノード間の接続を組み替えることによってネットワークの構造が変化したり、または、ノードの追加や減少などが生じた場合であっても、ノードについての情報を処理することによって、適切なタスク割り当て処理を継続することができる。

#### 【0112】

さらに、本発明では、特定のタスクを割り当てるノードを事前に指定することが可能なので、キー入力や音声出力、画像出力などの、特定ユーザの担当ノードで実行しなければ意味のないタスクを必ず担当ノードに割り当てることができる。20

また、複数のタスクで使用する同じコンテキストデータを持つタスクを、グループ化によって同じノードにまとめて割り当てるよう指定することも可能である。これによって、通信量および通信回数を削減することができ、また通信遅延の影響を最小にすることができる。

このように、本発明では、ノード事前指定を活用することによって、多様な種類および性質のタスクを扱うことができる。

#### 【0113】

本発明では、従来の方法と比較してタスク割り当てに要する計算量は増加する傾向にあるが、上述した様々な特徴のようにタスクを割り当てるノード選択の柔軟性が高いため、全体の処理をより早期に終了可能なタスク配置が実現されうる。30

#### 【0114】

以上、実施の形態をもとに本発明を説明した。これらの実施の形態は例示であり、各構成要素またはプロセスの組み合わせにいろいろな変形例が可能のこと、またこうした変形例も本発明の範囲にあることは当業者に理解されるところである。

#### 【0115】

実施の形態で述べた構成要素の任意の組み合わせ、本発明の表現を方法、装置、システム、コンピュータプログラム、記録媒体などの間で変換したものもまた、本発明の態様として有効である。また、本明細書にフローチャートとして記載した方法は、その順序にそつて時系列的に実行される処理のほか、並列的または個別に実行される処理をも含む。40

#### 【0116】

本発明の一連の処理をソフトウェアにより実行させる場合には、そのソフトウェアを構成するプログラムが専用のハードウェアに組み込まれているコンピュータとして実現してもよいし、あるいは、各種のプログラムをインストールすることで各種の機能を実行することが可能な汎用のコンピュータに、ネットワークや記録媒体からソフトウェアをインストールすることによって実現してもよい。

#### 【0117】

実施の形態では、複数ノードがネットワークで接続された分散アプリケーション実行環境について述べたが、ひとつのノードに複数のプロセッサが存在するマルチプロセッサシ50

ステムにおいて、それらプロセッサ間で処理を分担する「並列アプリケーション実行環境」に対しても、本発明を適用することができる。この場合、分散環境でのノード間のレイテンシ、スループットを、ノード内のプロセッサ間のレイテンシ、スループットで置き換えることで、上述と同様のアルゴリズムを適用できる。

さらに、それらマルチプロセッサシステムのノード同士がネットワークで接続された環境に対しても、本発明を適用することができる。この場合、ひとつのノード内に存在する複数のプロセッサ間のレイテンシ、スループットと、別ノードのプロセッサまでのレイテンシ、スループットとを適切に設定することによって、上述と同様のアルゴリズムを適用することができる。

**【図面の簡単な説明】**

10

**【0118】**

【図1】実施の形態に係る分散アプリケーション実行システムの構成図である。

【図2】各ノードを構成する汎用コンピュータの概略構成を示す図である。

【図3】各ノードで実行されるタスクと、タスク間の実行順序の制約を表す図である。

【図4】タスク割り当て結果の一例を示す図である。

【図5】実施の形態に係るタスク割り当て処理を実行するノードの機能ブロック図である。

【図6】タスク割り当て処理のメインフローチャートである。

【図7】図7(a)はAESTの算出方法を模式的に示し、図7(b)はタスク間の依存関係の一例を示す図である。

20

【図8】AESTの計算処理のフローチャートである。

【図9】図9(a)はALSTの算出方法を模式的に示し、図9(b)はタスク間の依存関係の一例を示す図である。

【図10】ALSTの計算処理のフローチャートである。

【図11】図6におけるタスク割り当て処理のフローチャートである。

【図12】ノード選択部の詳細な機能ブロック図である。

【図13】図11におけるノード選択処理のフローチャートである。

【図14】図13における前処理の詳細なフローチャートである。

【図15】図13におけるメインループの詳細なフローチャートである。

【図16】図13におけるメインループの詳細なフローチャートである。

30

【図17】図13における後処理の詳細なフローチャートである。

【図18】図15、図16における空き時間検出処理のフローチャートである。

【図19】図19(a)、図19(b)は、空き時間検出処理の計算手法を模式的に示す図である。

【図20】図18のS200における「PUSH型挿入」を説明する図である。

【図21】タスク割り当ての実行対象となるタスク経路の具体例を示す図である。

【図22】タスク処理時間、通信時間、事前指定ノードを記載したタスク経路を示す図である。

【図23】図22の各タスクのAEST、ALST、タスク可動範囲を示す表である。

【図24】タスク1-4とタスク1-5とをグループ化した後のタスク経路を示す図である。

40

【図25】図24の各タスクのAEST、ALST、タスク可動範囲を示す表である。

【図26】タスク1-4、1-5、1-6をノード1に割り当てた後のタスク経路を示す図である。

【図27】タスク割り当て処理後のタスク経路を示す図である。

**【符号の説明】**

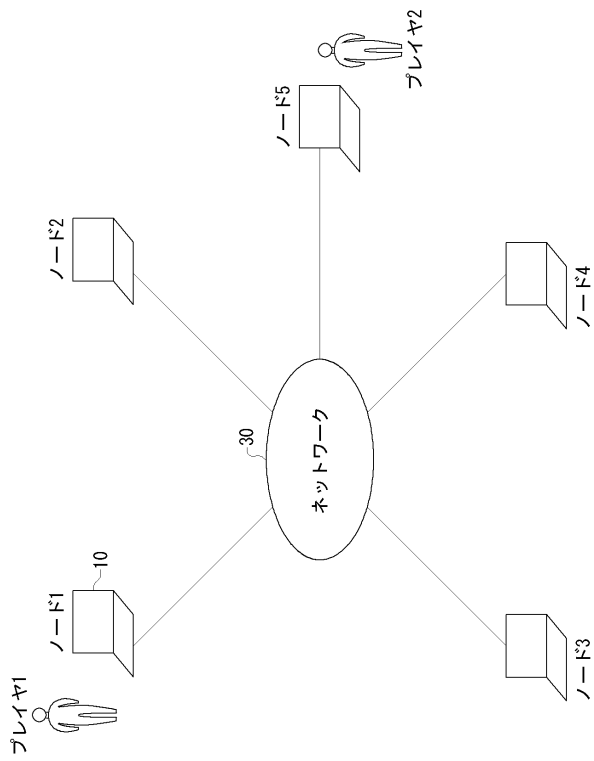
**【0119】**

10 ノード、 100 コンピュータ、 102 ユーザ入力部、 104 プログラム解析部、 108 情報収集部、 110 タスク情報取得部、 112 ノード情報取得部、 118 事前指定受付部、 120 タスク情報格納部、 126 ノード

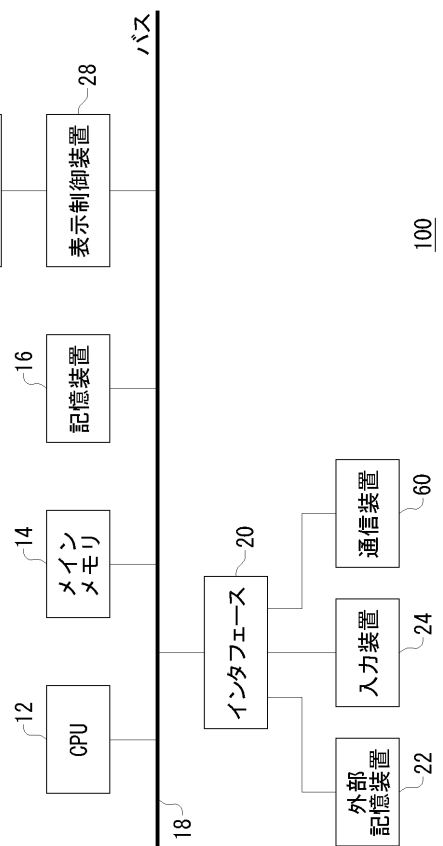
50

情報格納部、130 格納部、140 タスク割り当て部、144 開始時刻算出部、146 対象タスク選択部、148 ノード選択部、150 タスク配置部、200 前処理部、202 対象タスク確認部、204 先後タスク確認部、206 ノードリスト作成部、210 ノード選択判定部、214 空き時間検出部、220 ノードリスト格納部、222 開始時刻格納部、224 A E S T 条件判定部、226 グループ化部、230 後処理部。

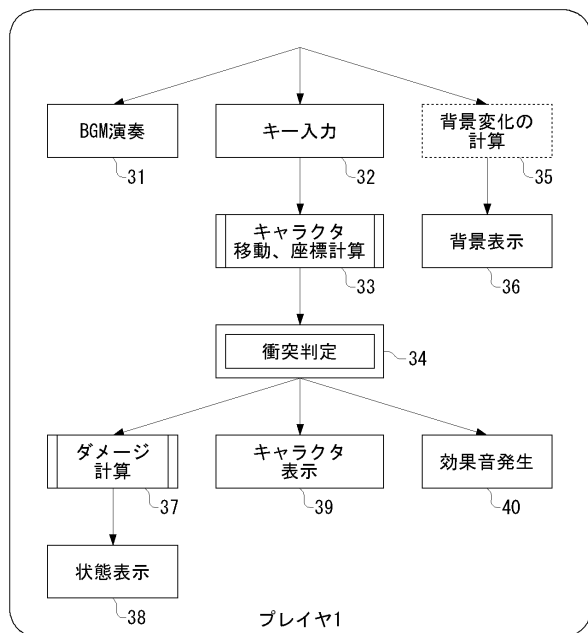
【図1】



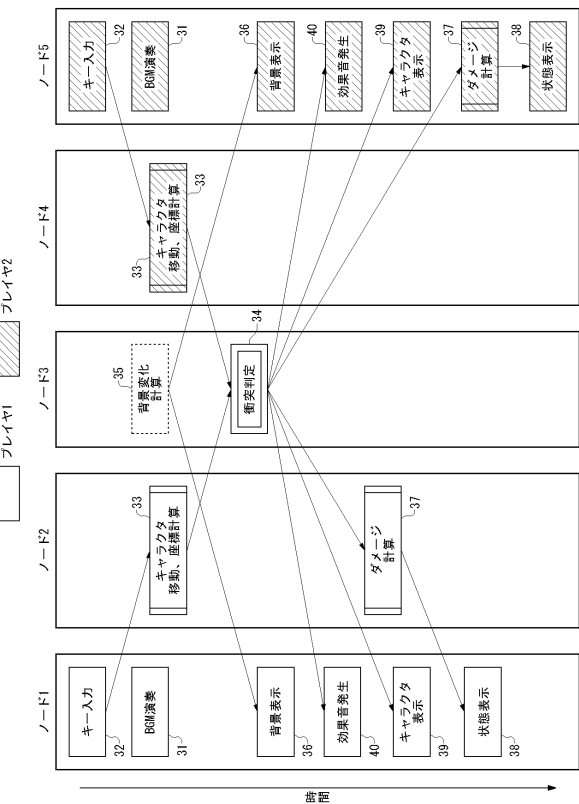
【図2】



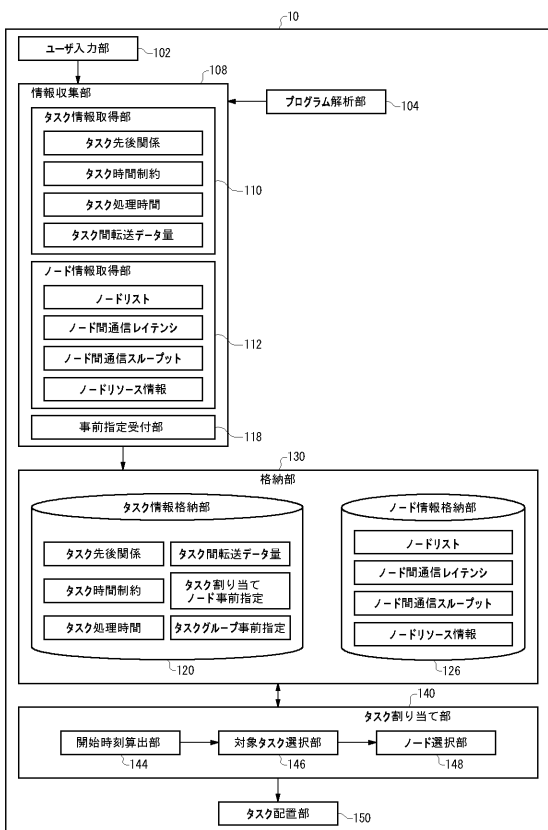
【図3】



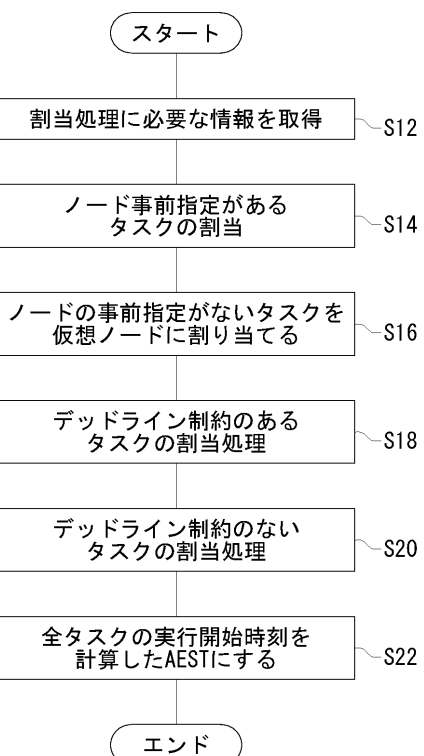
【図4】



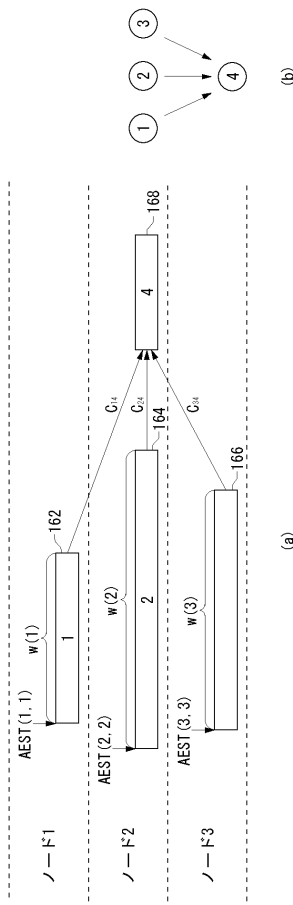
【図5】



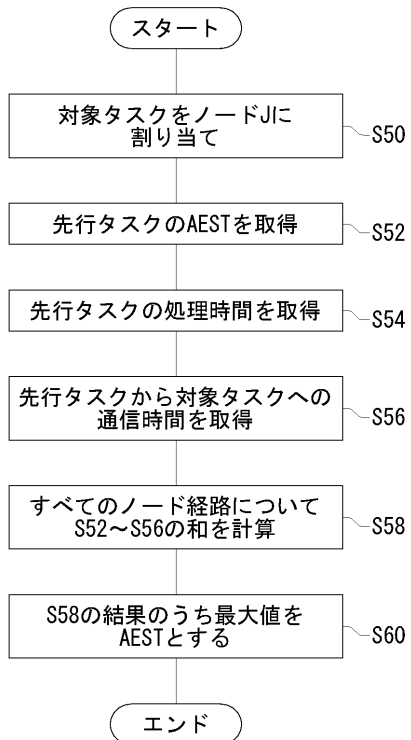
【図6】



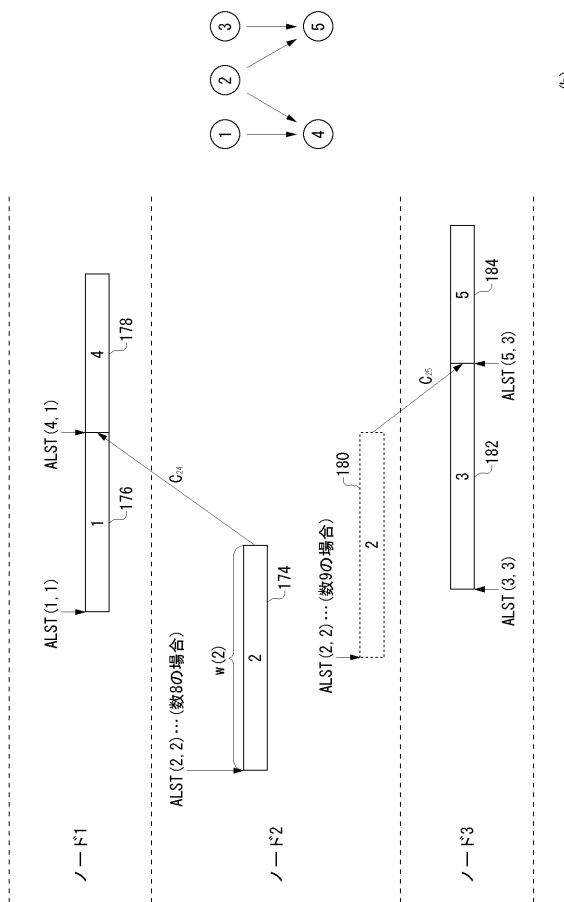
【図7】



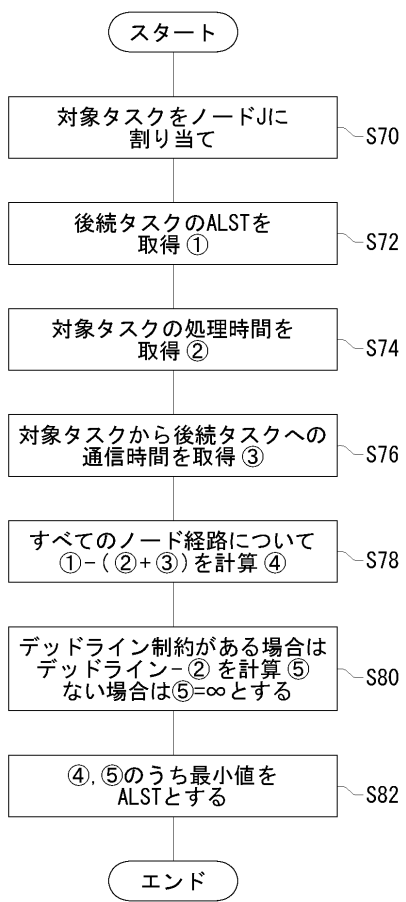
【図8】



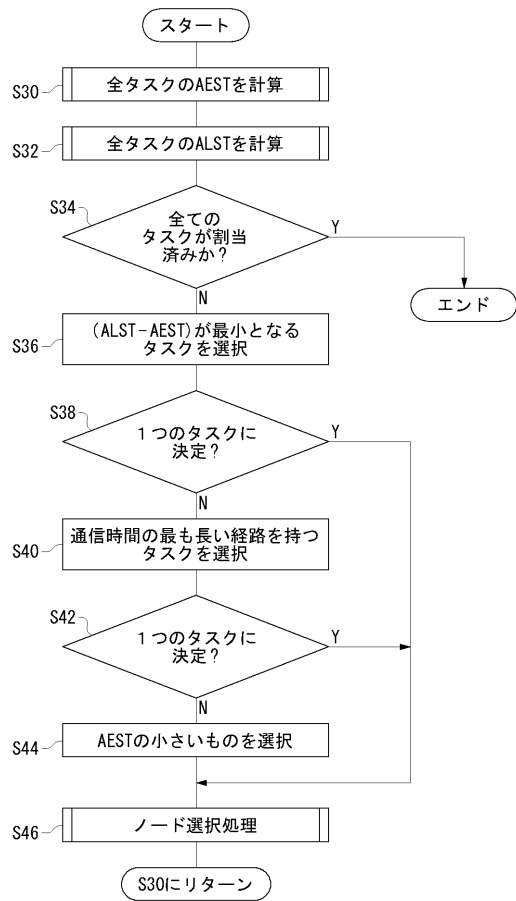
【図9】



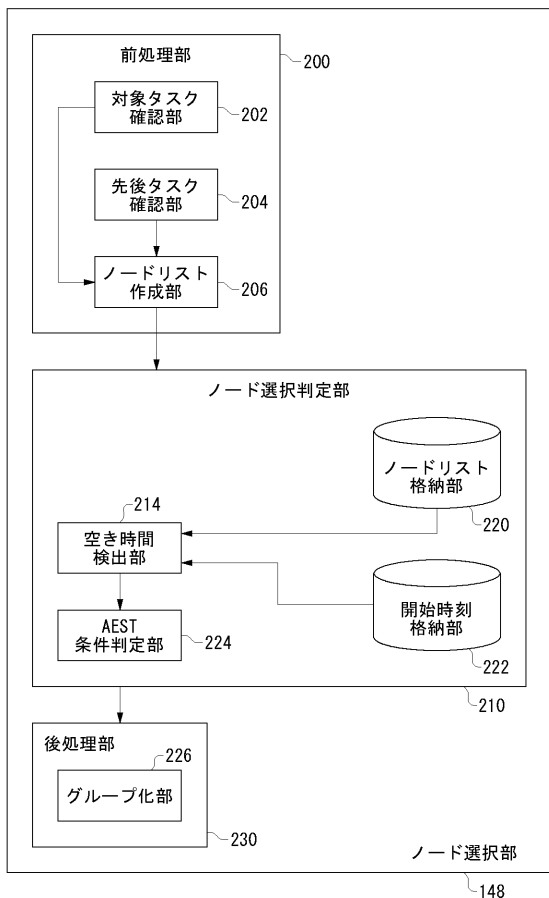
【図10】



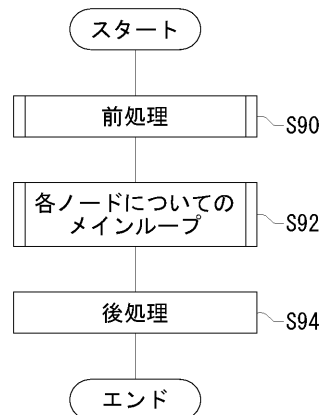
【図11】



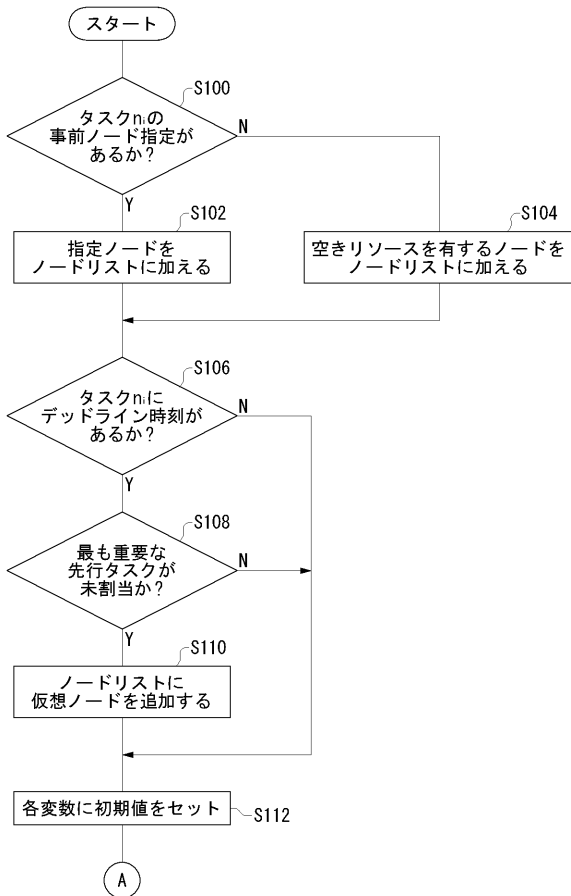
【図12】



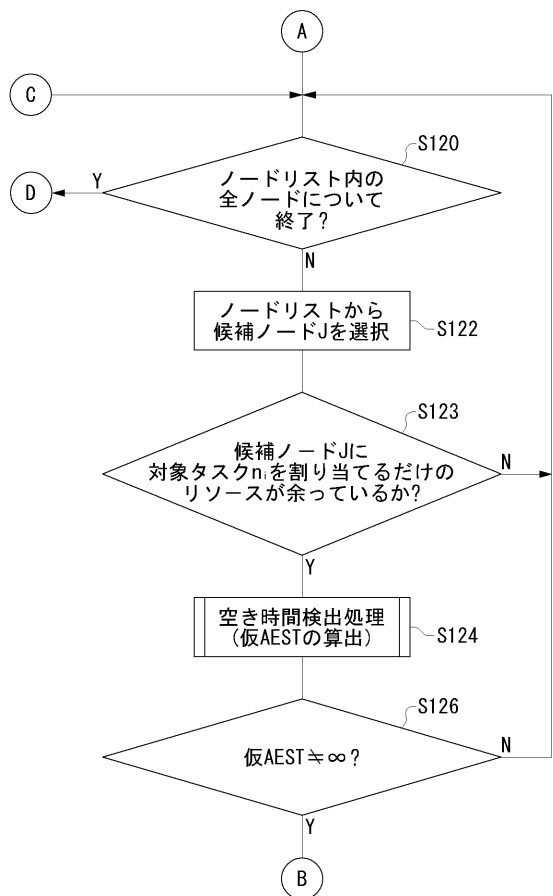
【図13】



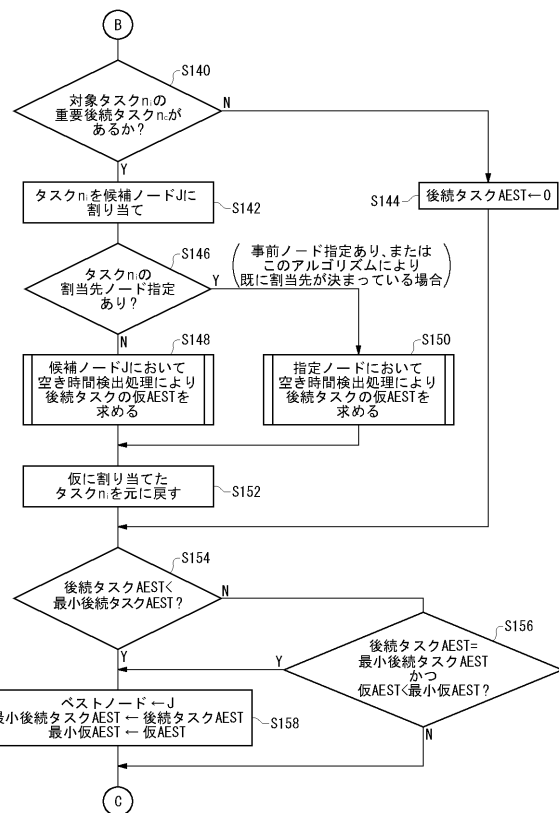
【図14】



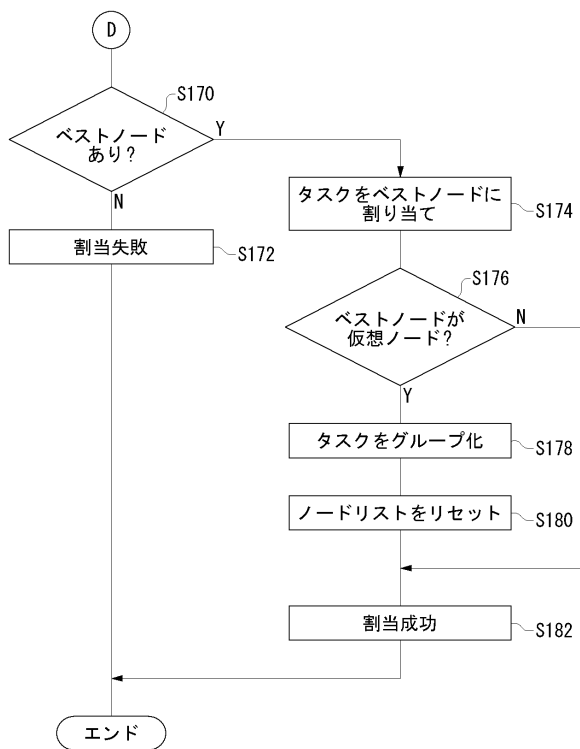
【図15】



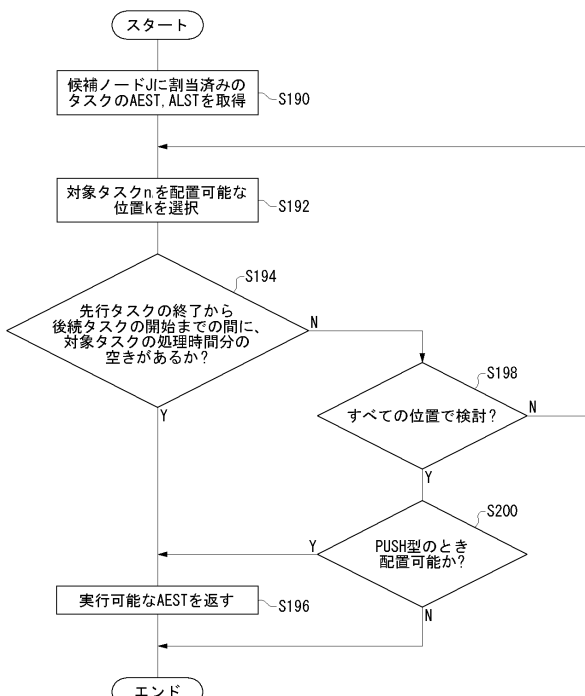
【図16】



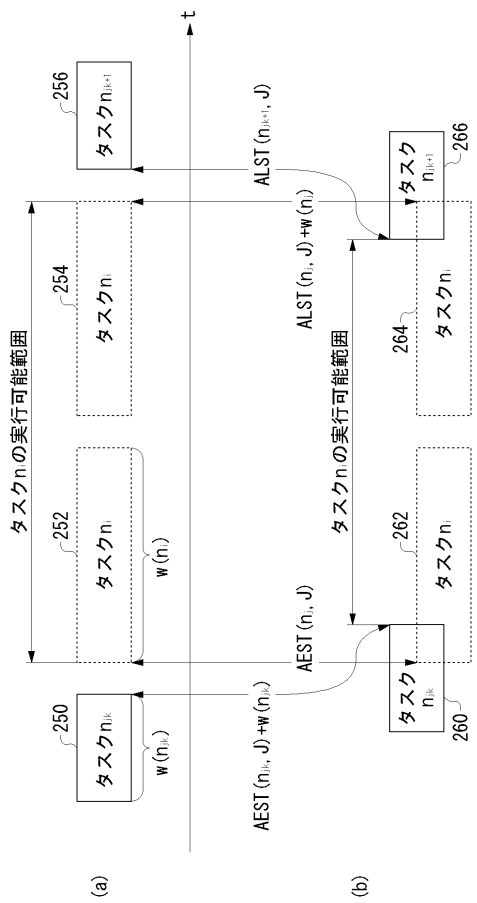
【図17】



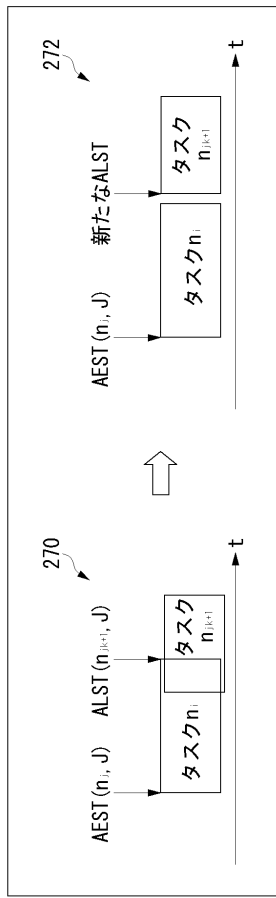
【図18】



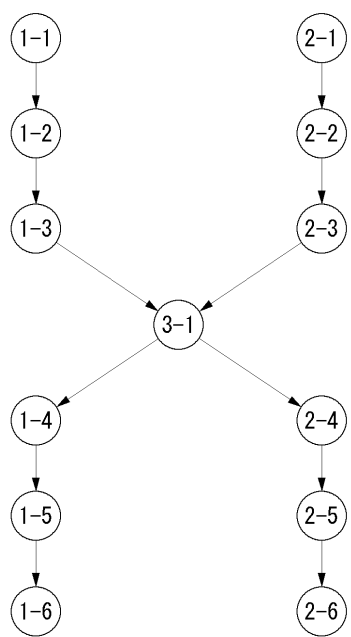
【図19】



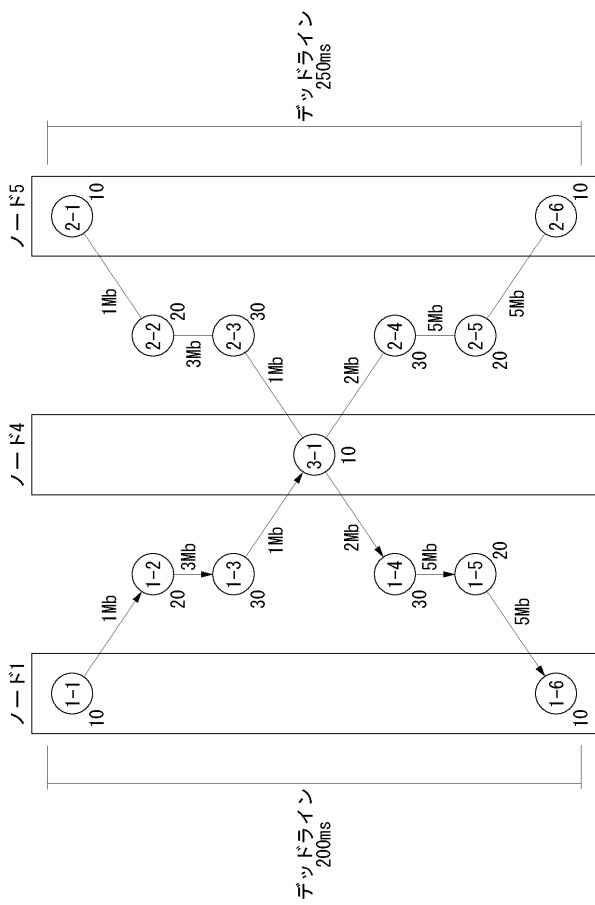
【図20】



【図21】



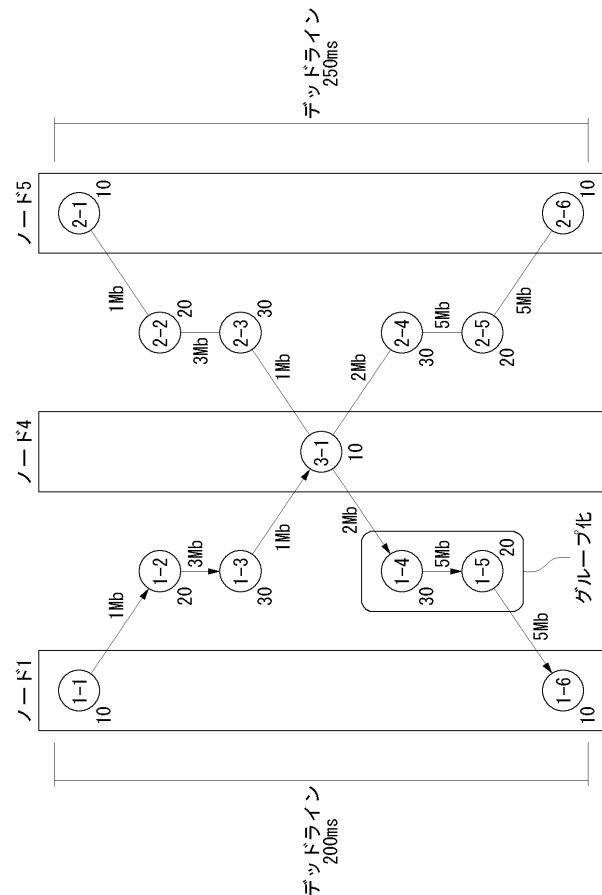
【図22】



【図23】

タスク	AEST	ALST	タスク可動範囲
1-1	0	-130	-130
1-2	25	-105	-130
1-3	80	-50	-130
3-1	125	-5	-130
1-4	160	30	-130
1-5	245	115	-130
1-6	320	190	-130
2-1	0	-130	-130
2-2	25	-105	-130
2-3	80	-50	-130
3-1	125	45 → -5	-80 → -130
2-4	160	80	-80
2-5	245	165	-80
2-6	320	240	-80

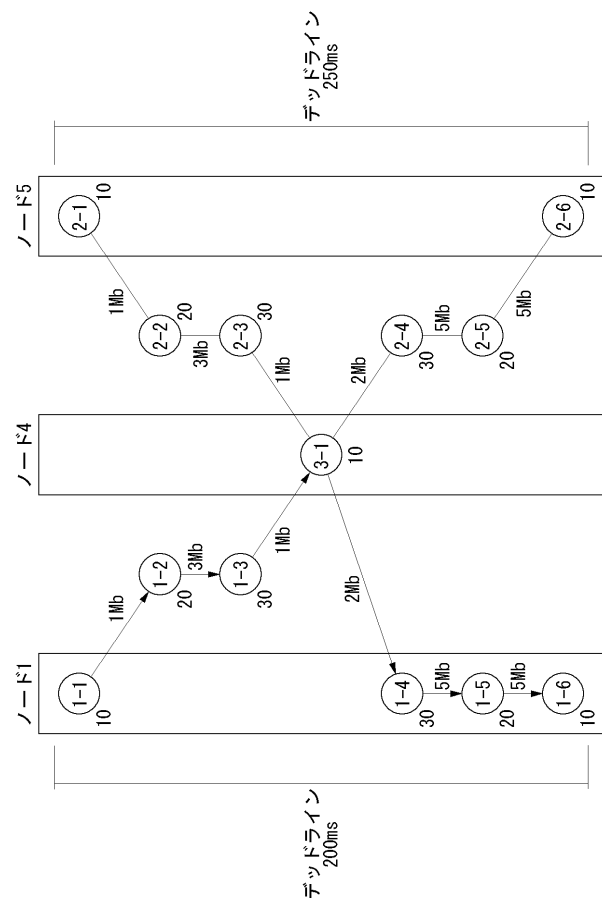
【図24】



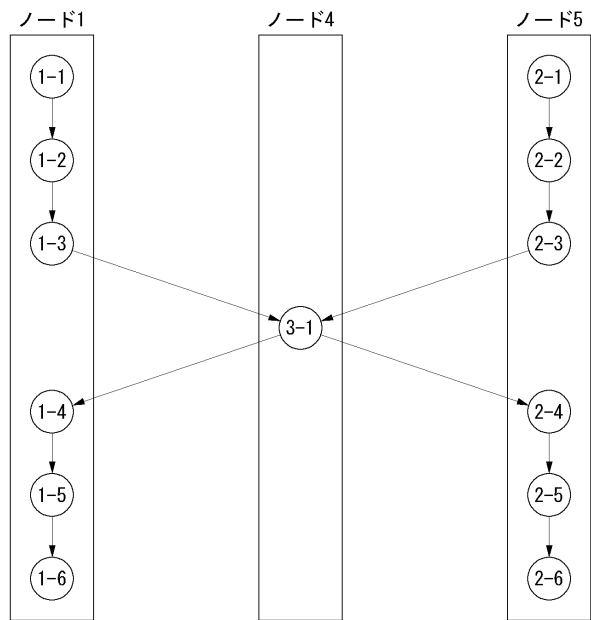
【図25】

タスク	AEST	ALST	タスク可動範囲
1-1	0	-80	-80
1-2	25	-55	-80
1-3	80	0	-80
3-1	125	50 → 45	-75 → -80
1-4	160	85	-75
1-5	190	115	-75
1-6	265	190	-75
2-1	0	-80	-80
2-2	25	-55	-80
2-3	80	0	-80
3-1	125	45	-80
2-4	160	80	-80
2-5	245	165	-80
2-6	320	240	-80

【図26】



【図27】



---

フロントページの続き

(72)発明者 飛田 高雄

東京都港区南青山2丁目6番21号 株式会社ソニー・コンピュータエンタテインメント内

(72)発明者 村田 誠二

東京都港区南青山2丁目6番21号 株式会社ソニー・コンピュータエンタテインメント内

(72)発明者 永田 章人

東京都港区南青山2丁目6番21号 株式会社ソニー・コンピュータエンタテインメント内

(72)発明者 金子 渚

東京都港区南青山2丁目6番21号 株式会社ソニー・コンピュータエンタテインメント内

(72)発明者 村田 賢一

東京都港区南青山2丁目6番21号 株式会社ソニー・コンピュータエンタテインメント内

審査官 井上 宏一

(56)参考文献 特開平05-250338 (JP, A)

特開2001-166816 (JP, A)

特開平10-228385 (JP, A)

特開2003-050709 (JP, A)

特開平08-050551 (JP, A)

特開平06-075786 (JP, A)

特開平05-242103 (JP, A)

特開2003-298599 (JP, A)

特開2003-280929 (JP, A)

(58)調査した分野(Int.Cl., DB名)

G 06 F 9 / 46 - 9 / 54